

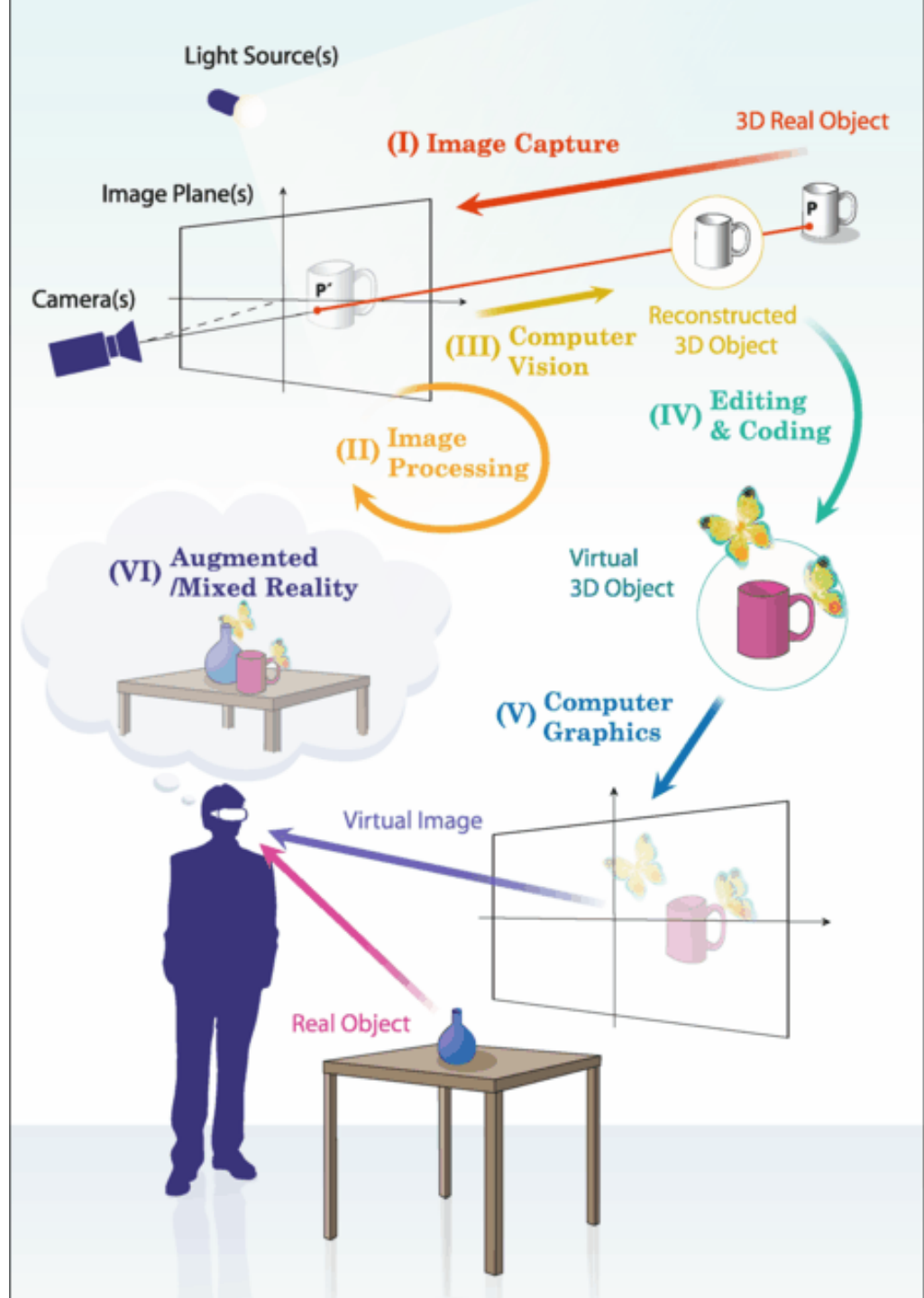
Visión Computacional en Robótica

Rodrigo Verschae, Universidad de O'Higgins

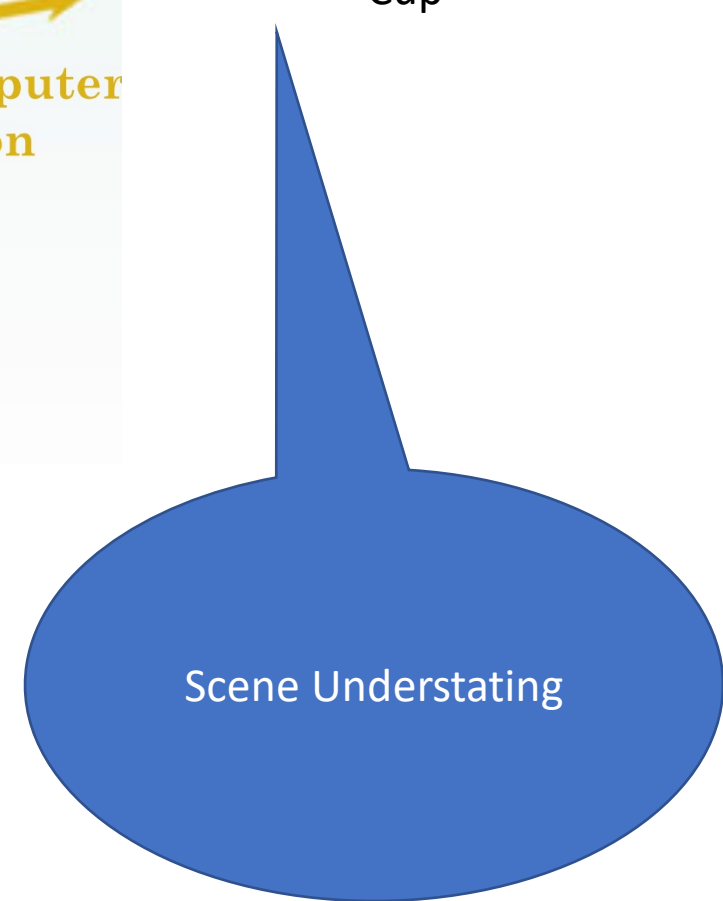
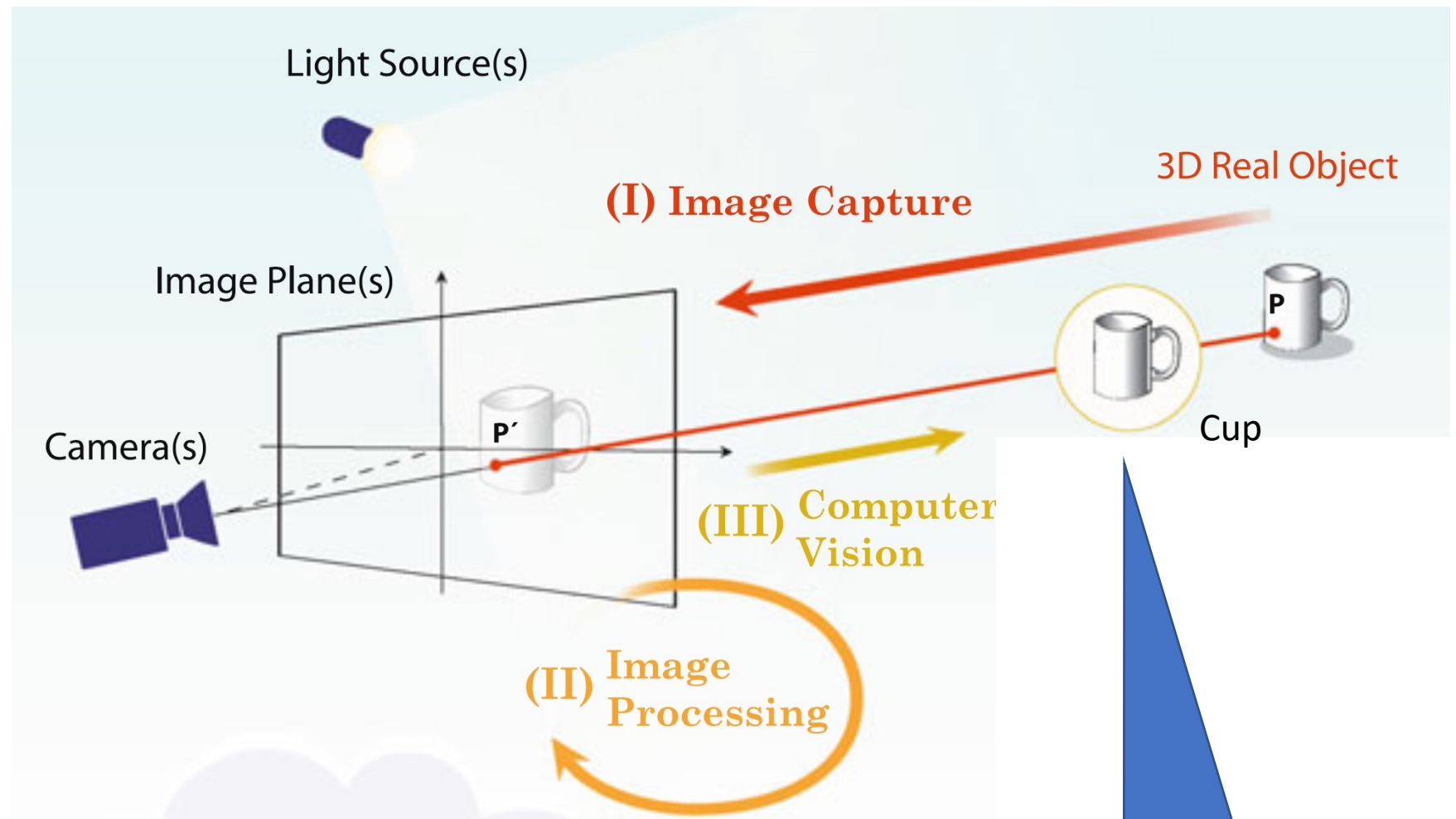
Email: rodrigo@verschae.org; rodrigo.verschae@uoh.cl

Web: rodrigo.verschae.org

World of visual information media



World of visual information media



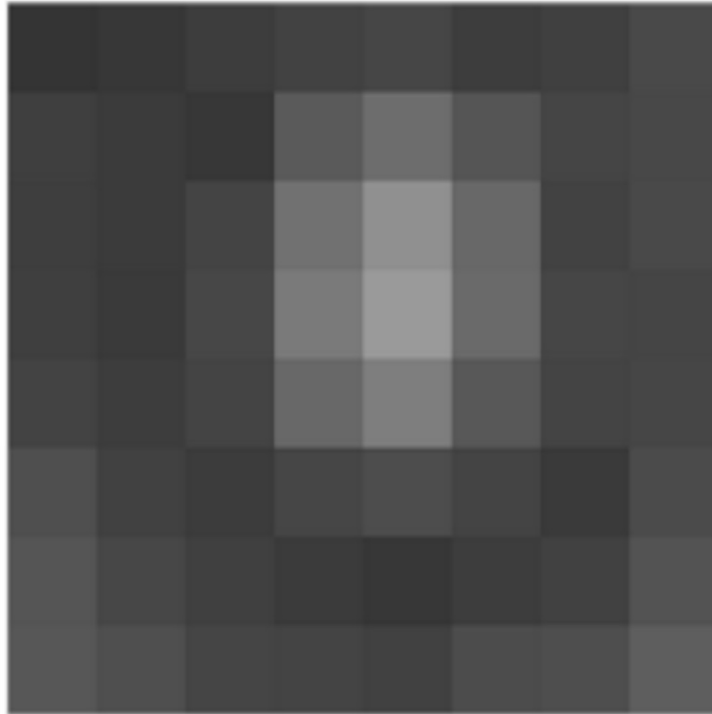
¿Que es una imagen?

Que es una imagen?

Pixel



Que es una imagen?



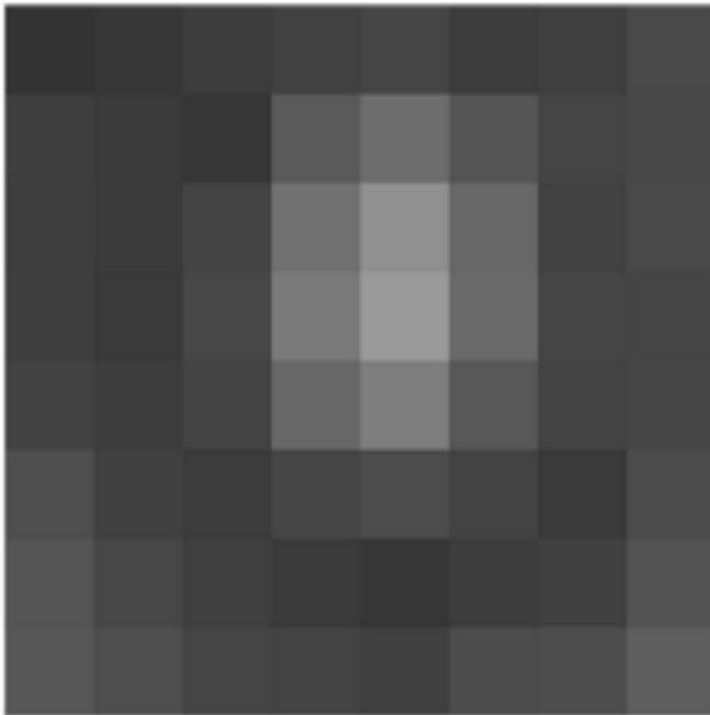
Pixel
(Ejemplo, escala de grises 256 valores)

52 55 61 66 70 61 64 73
63 59 55 90 109 85 69 72
62 59 68 113 144 104 66 73
63 58 71 122 154 106 70 69
67 61 68 104 126 88 68 70
79 65 60 70 77 68 58 75
85 71 64 59 55 61 65 83
87 79 69 68 65 76 78 94

Cuántas imágenes hay?

Imagen de 8x8 pixeles, escala de grises (256 valores):

$$256 * 256 * \dots * 256 = 256^{8*8} \sim 10^{150}$$



52	55	61	66	70	61	64	73
63	59	55	90	109	85	69	72
62	59	68	113	144	104	66	73
63	58	71	122	154	106	70	69
67	61	68	104	126	88	68	70
79	65	60	70	77	68	58	75
85	71	64	59	55	61	65	83
87	79	69	68	65	76	78	94

Que es una imagen?

54	58	255	8	0		
45	0	78	51	100	74	
85	47	34	185	207	21	36
22	20	148	52	24	147	123
52	36	250	74	214	278	41
158	0	78	51	247	255	
72	74	136	251	74		

Pixel

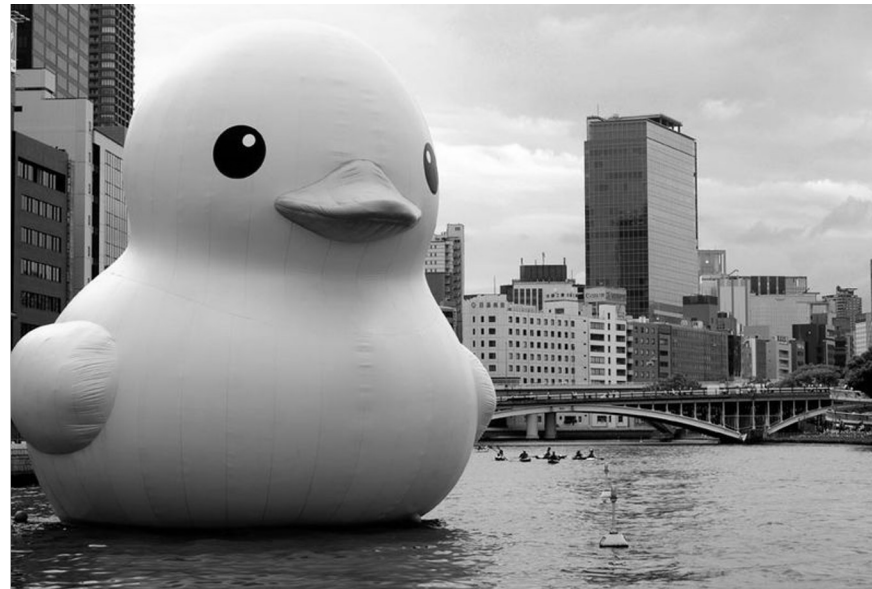
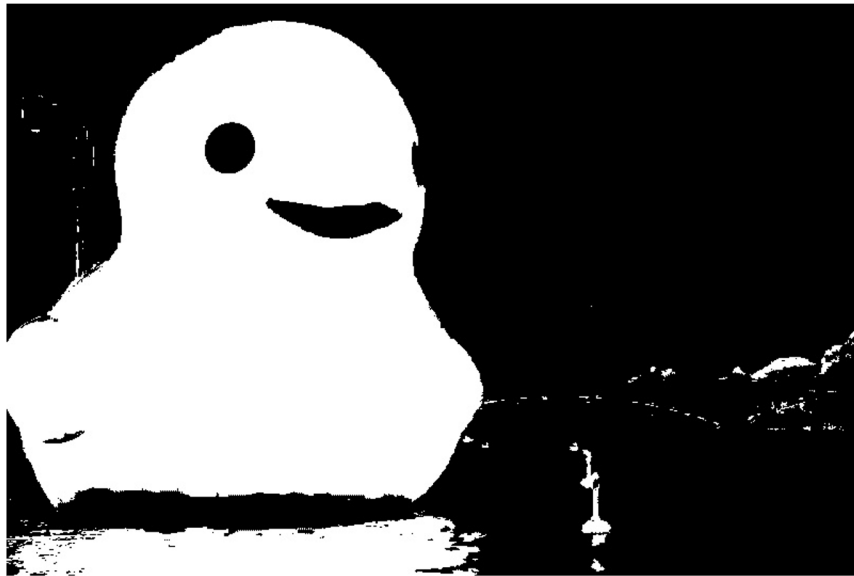
(Ejemplo, RGB, 256 valores cada canal)

R = Red, G = Green, B = Blue



Tipos de imagen

- Binaria
- Escala de grises
- Color
- ...



Espacios de colores

- RGB (Red, Green, Blue)



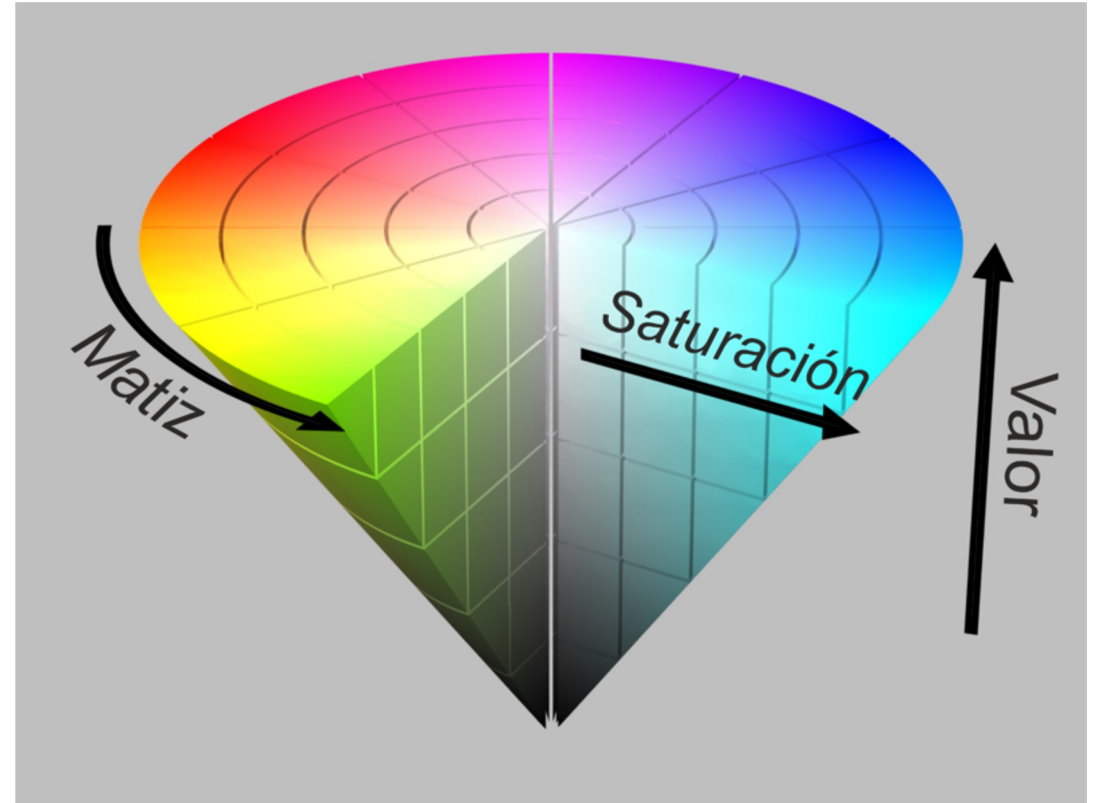
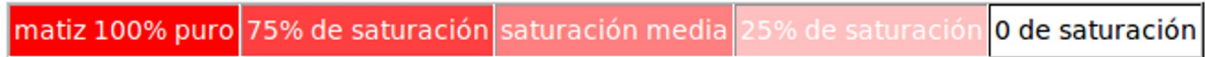
24 bits (8 bit o 256 niveles de color por canal)

$256 \times 256 \times 256 \approx 16,7$ millones de colores

- (0, 0, 0) es negro
- (255, 255, 255) es blanco
- (255, 0, 0) es rojo
- (0, 255, 0) es verde
- (0, 0, 255) es azul
- (255, 255, 0) es amarillo

Espacios de colores

- HSV
 - Matiz -> Color (0 a 360)



Comando simple: Mascara

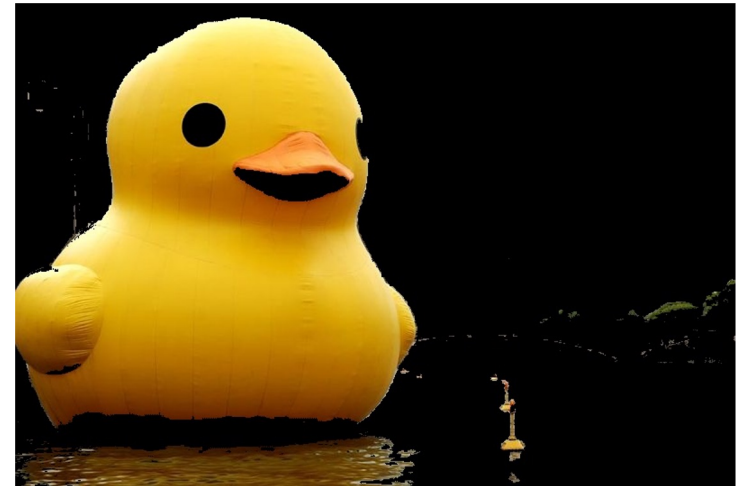
```
image_out = cv2.bitwise_and(image, image, mask= mask)
```



image



mask

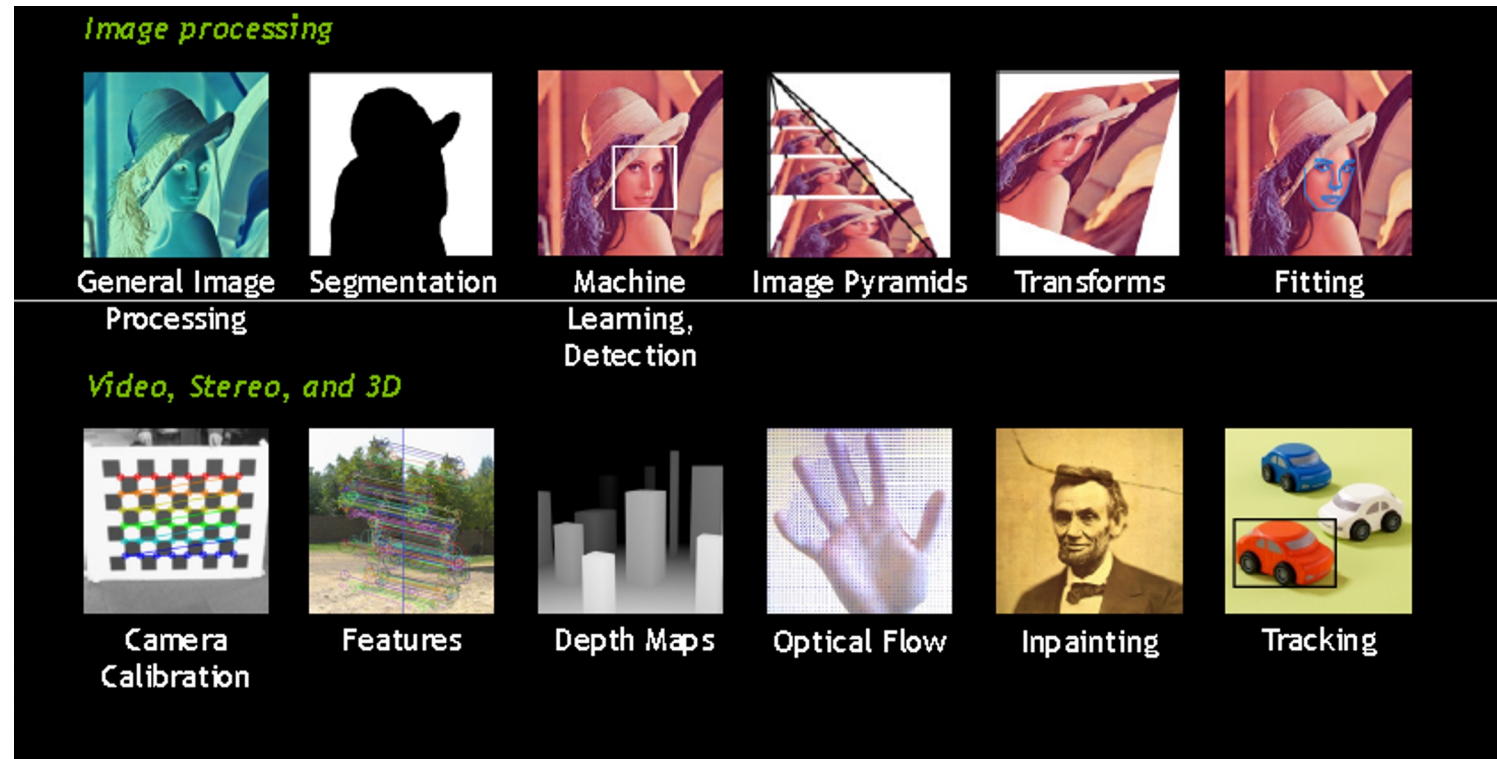
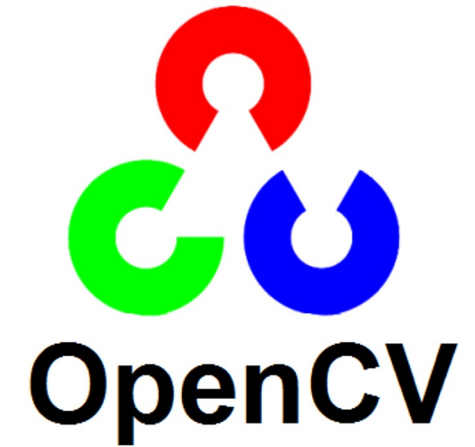


image_out

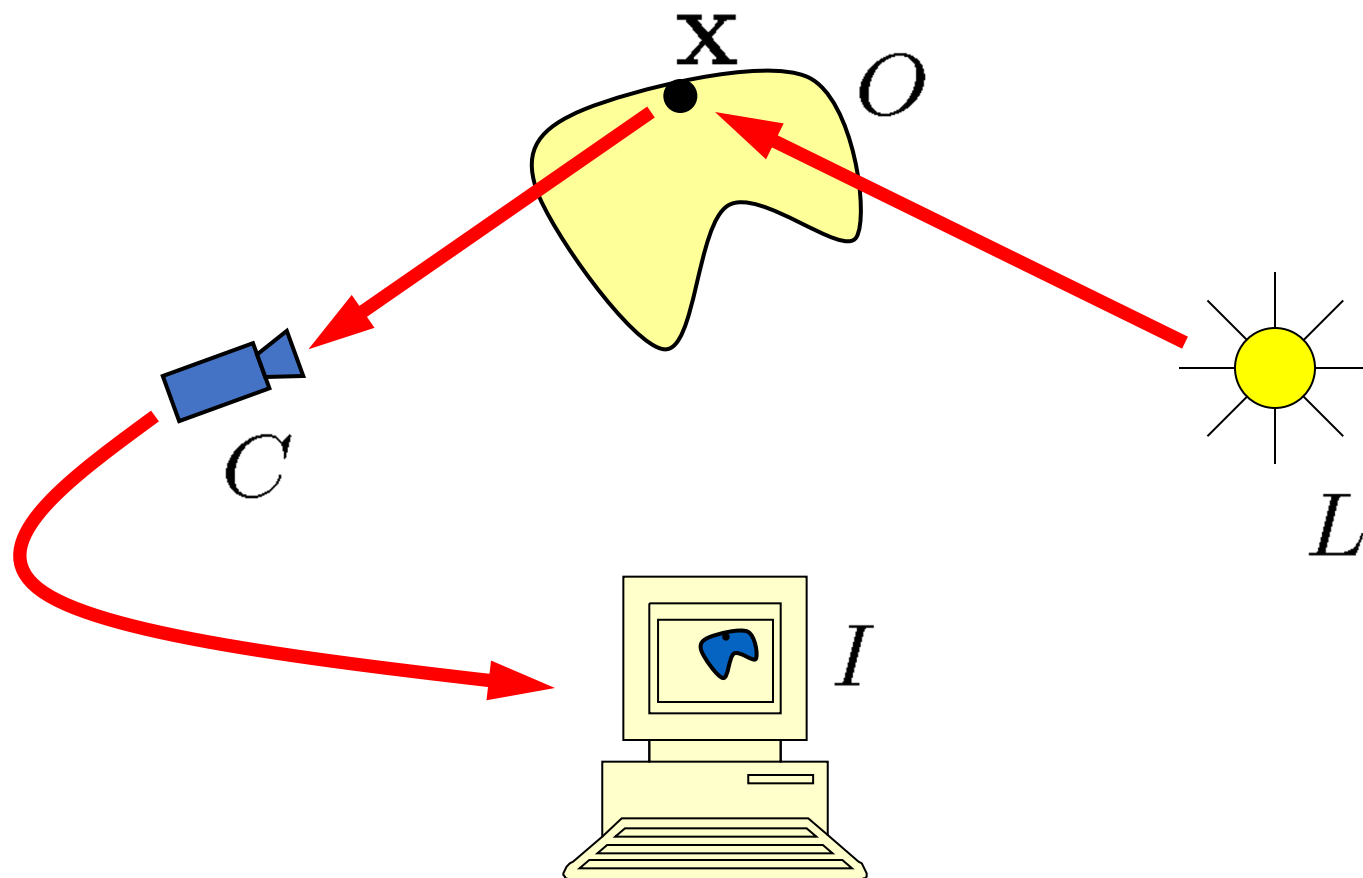
OpenCV

Librería de visión por computador de código abierto

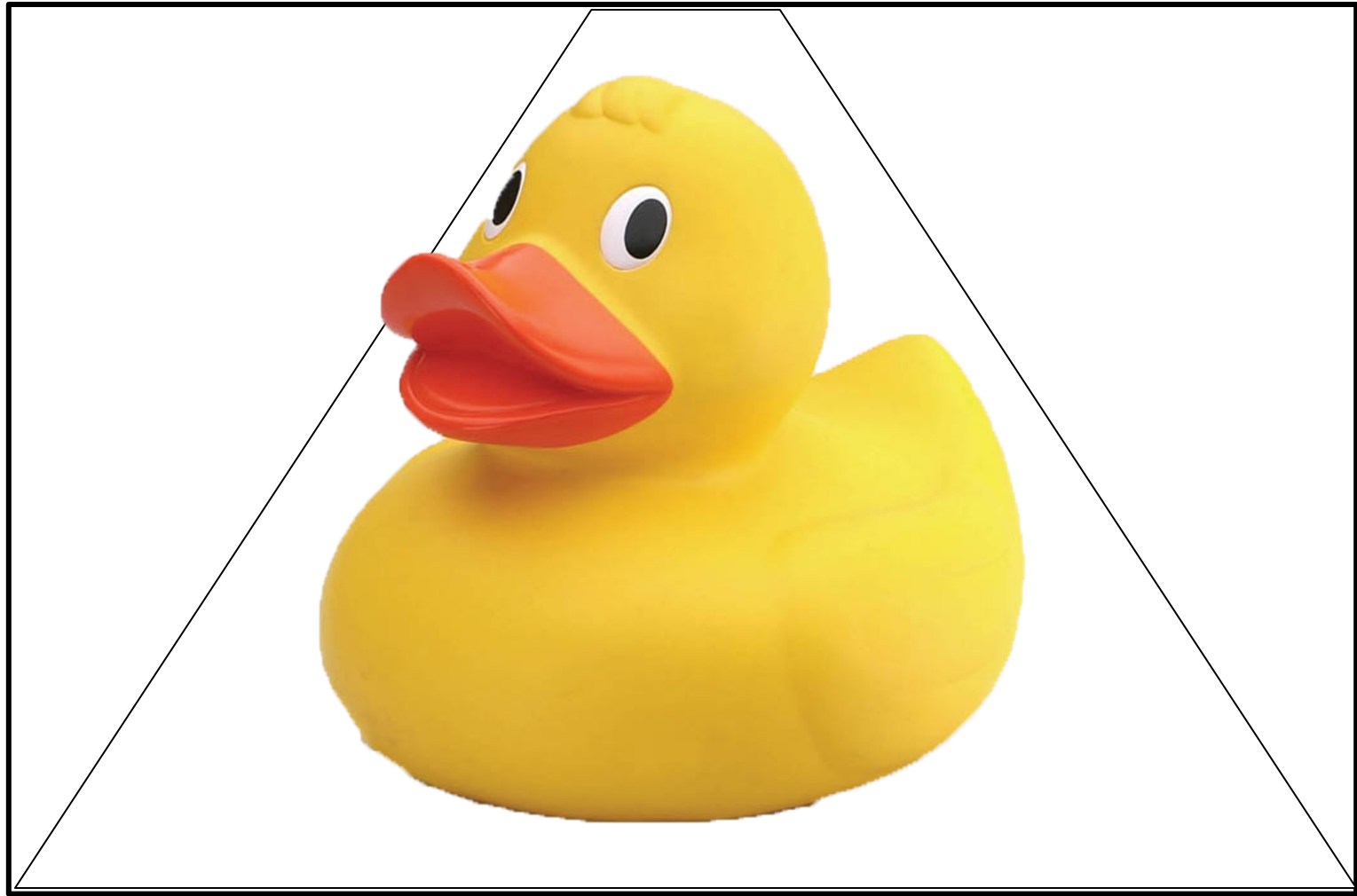
Lenguajes : C, C++, Python, Ruby, Matlab
Compatible con Linux, Windows y Mac OS X.

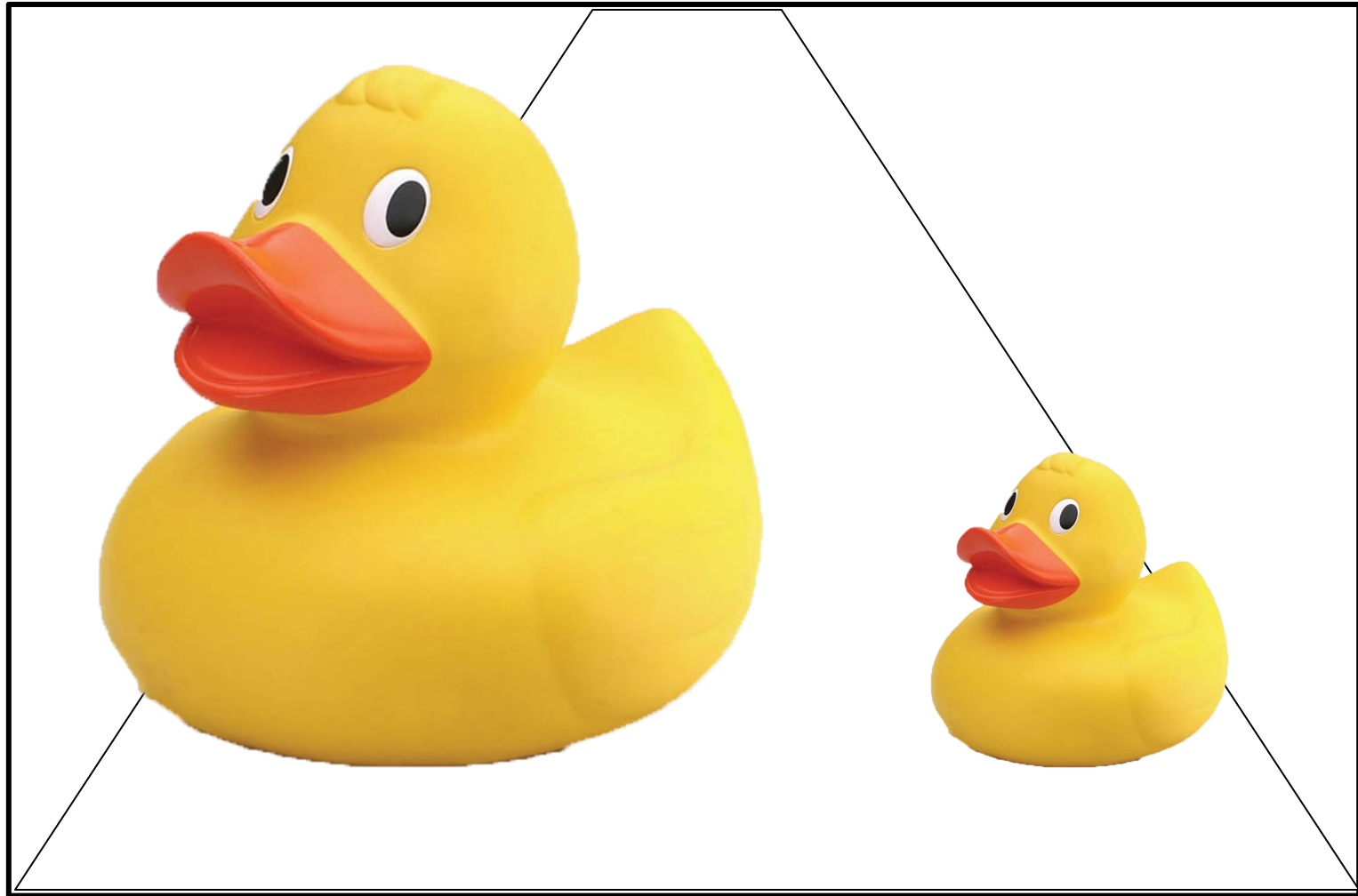


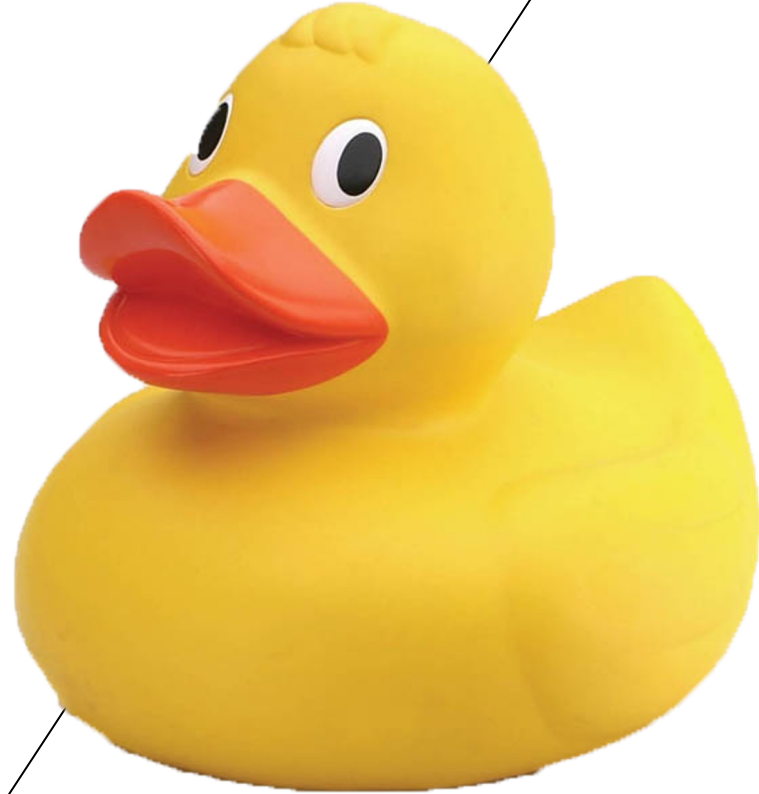
Formación de una imagen



Cámaras





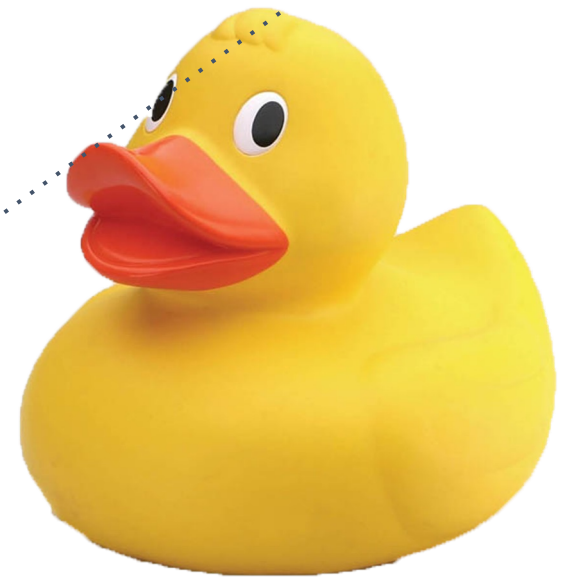
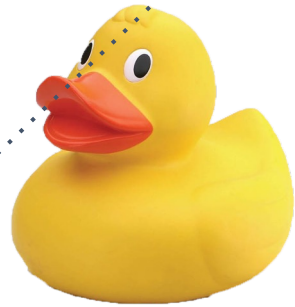


Patricio

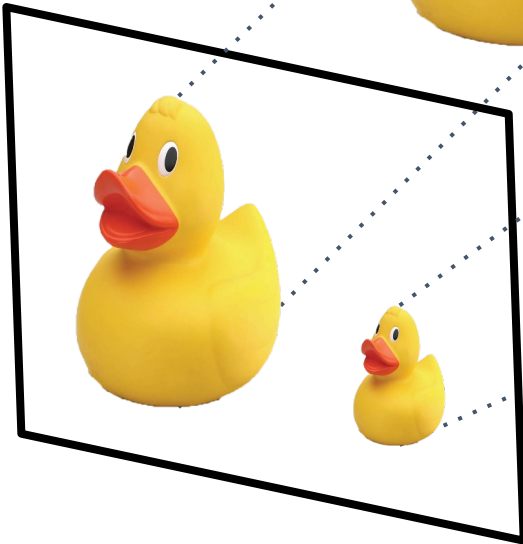


Patricia

Patricio

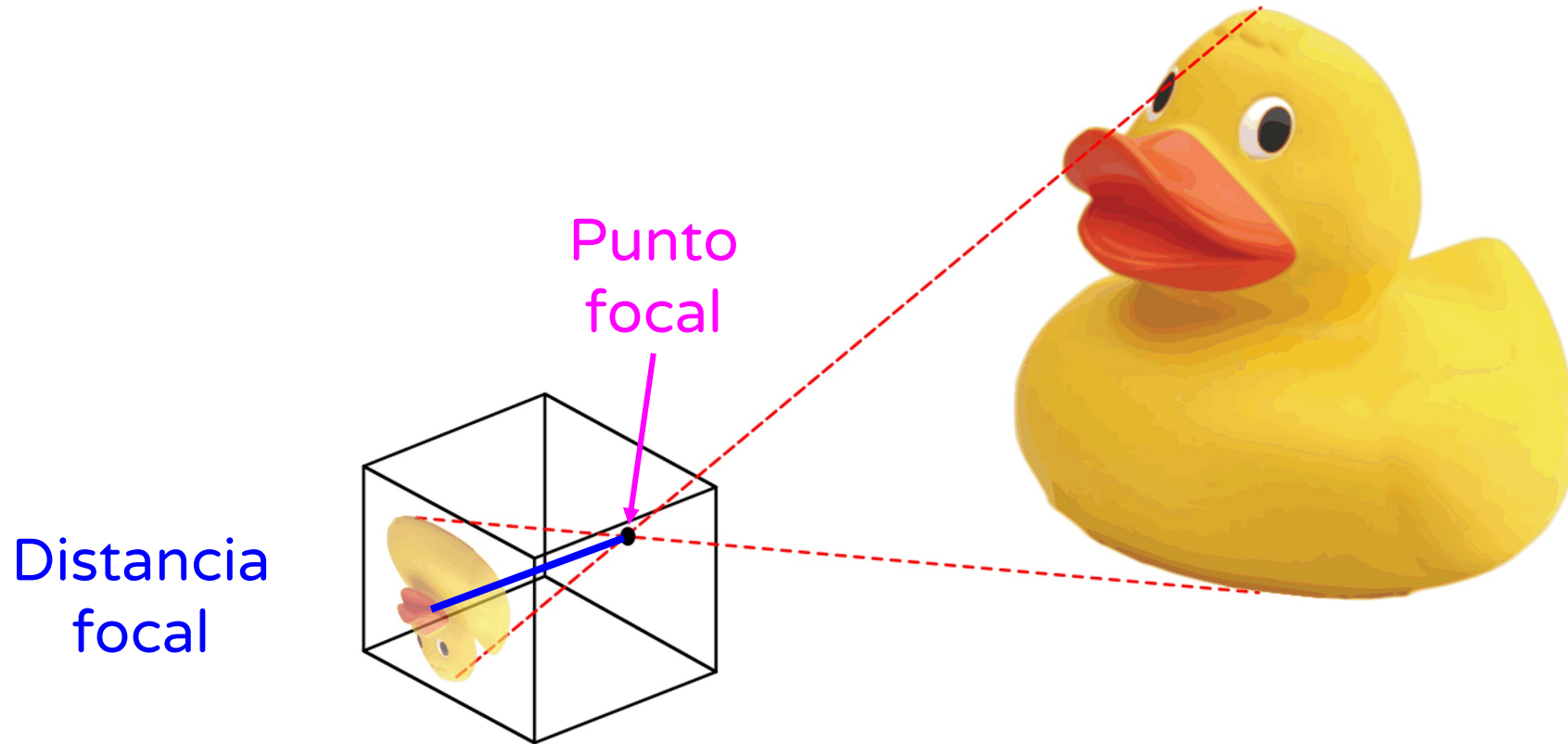


Patricia

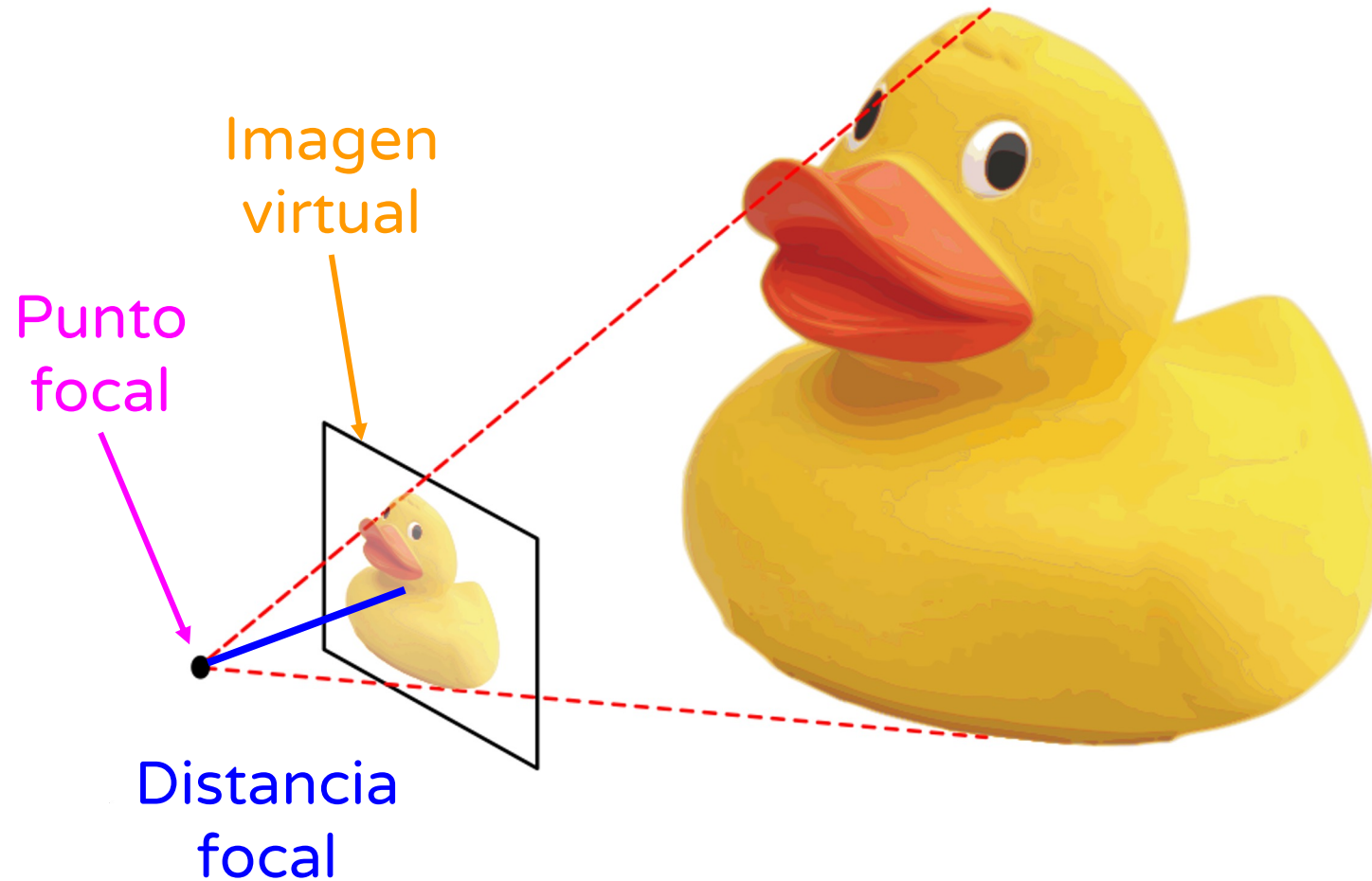


Cámara pinhole

También se conoce como cámara oscura

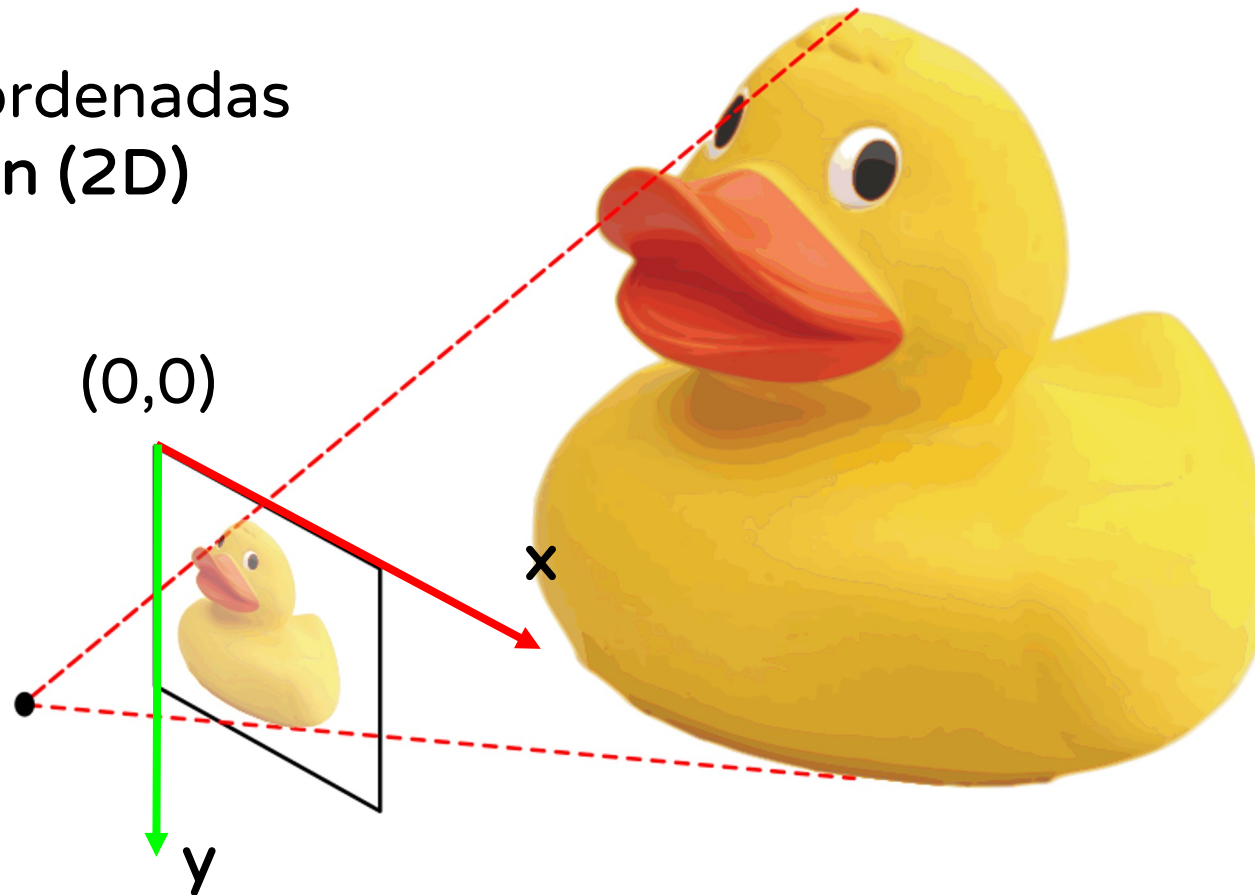


Cámara pinhole: cómo de verdad se usa



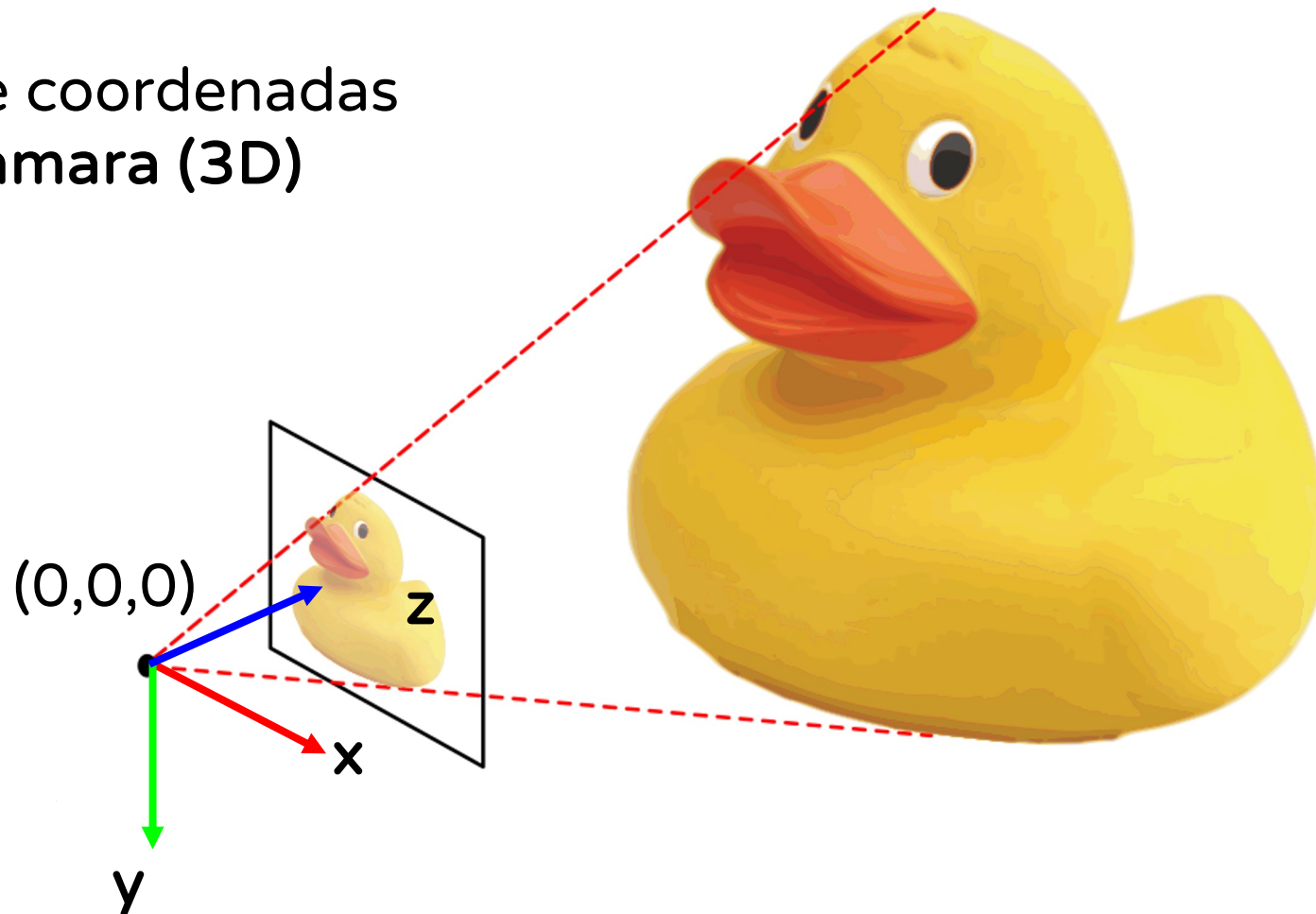
Cámara pinhole: ahora con matemáticas

Sistema de coordenadas de la imagen (2D)



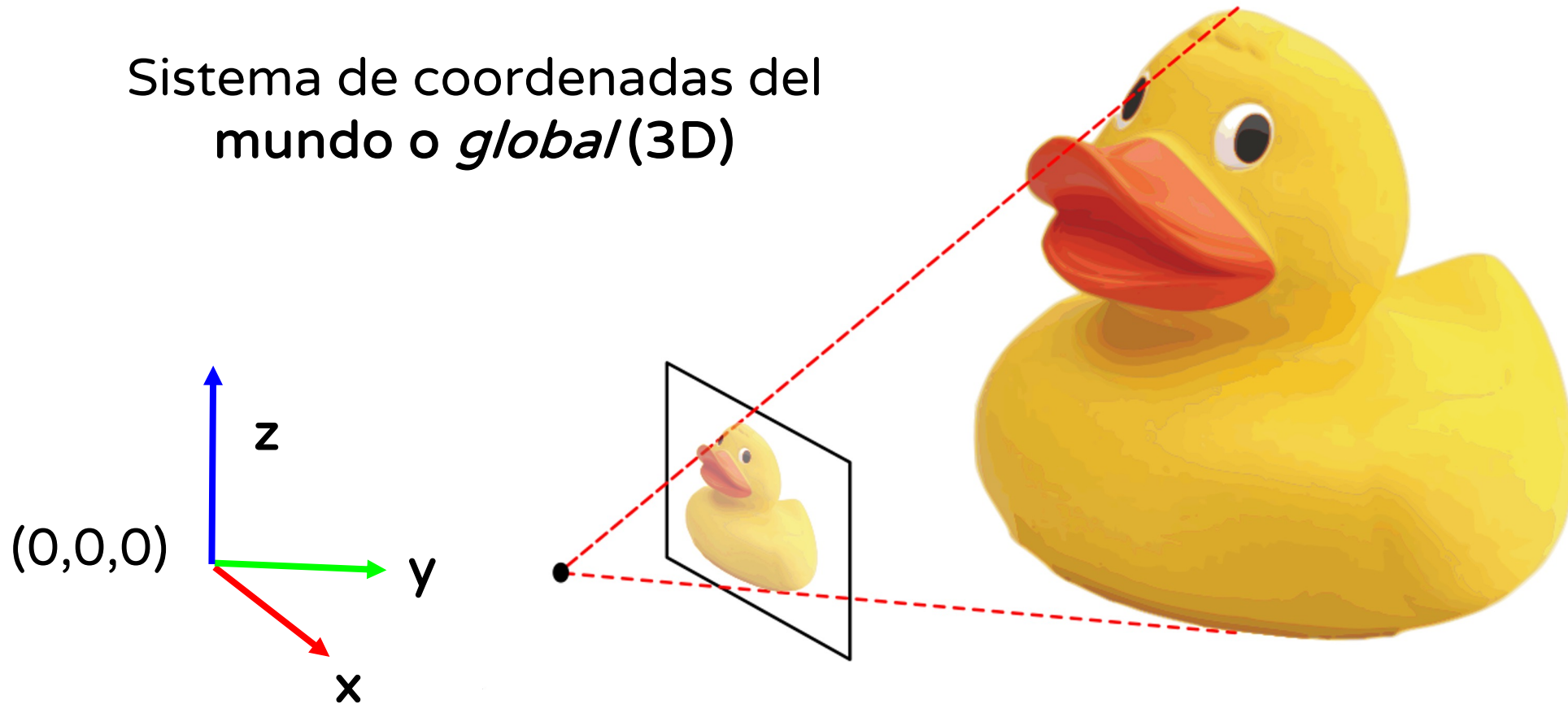
Cámara pinhole: ahora con matemáticas

Sistema de coordenadas de la cámara (3D)

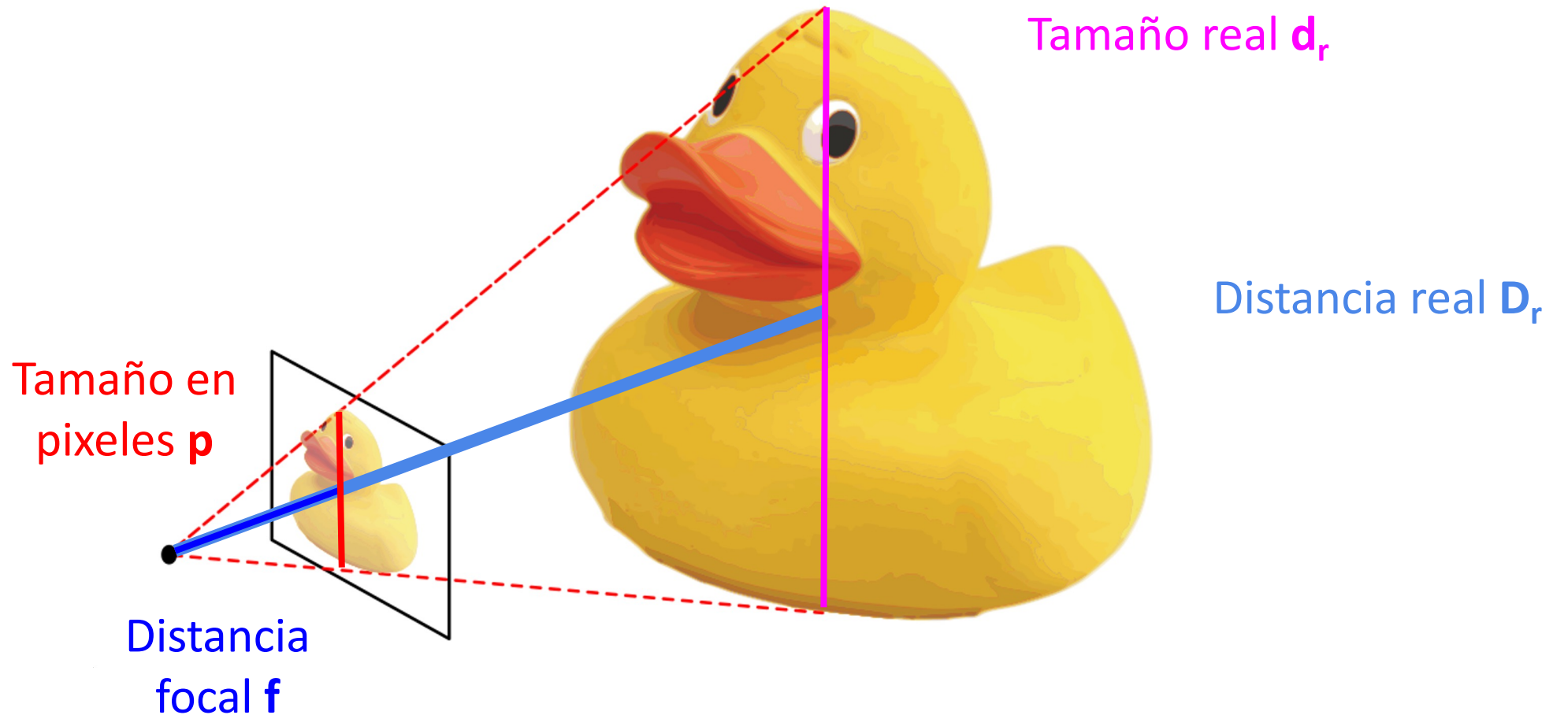


Cámara pinhole: ahora con matemáticas

Sistema de coordenadas del mundo o *global* (3D)

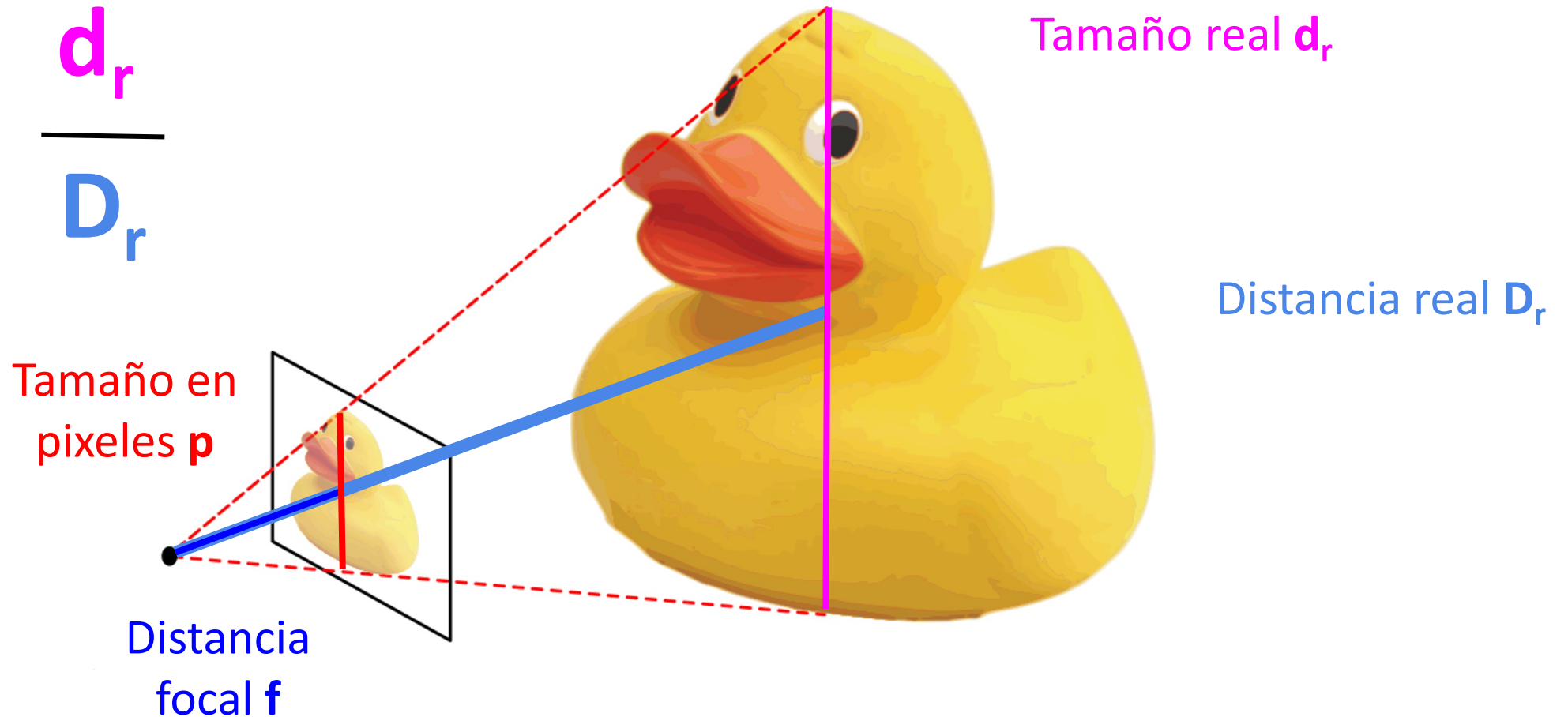


Cámara pinhole: ahora con matemáticas



Cámara pinhole: ahora con matemáticas

$$\frac{p}{f} = \frac{d_r}{D_r}$$



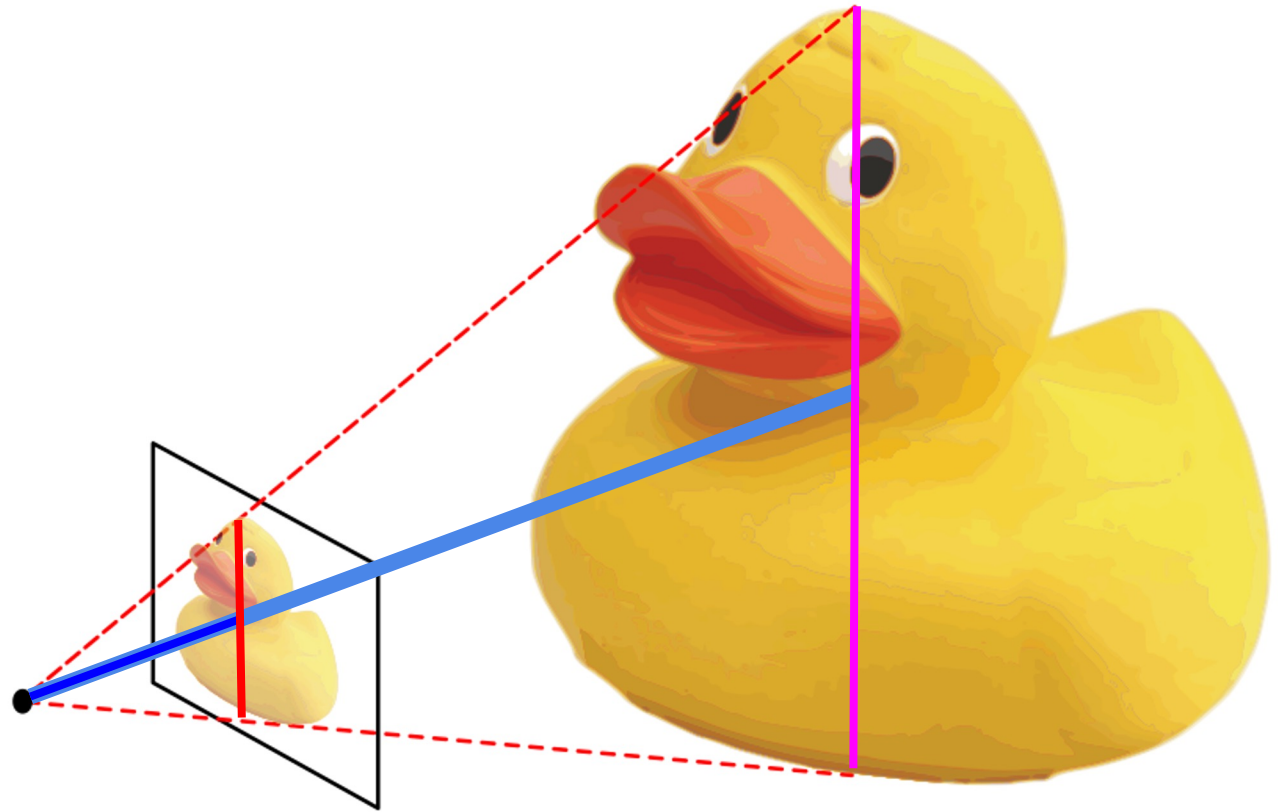
¿Qué problemas hay?

Hay incógnitas f , d_r , D_r

¿Qué problemas hay?

Hay incógnitas f , d_r , D_r

El objeto debe estar “centrado”



¿Qué problemas hay?

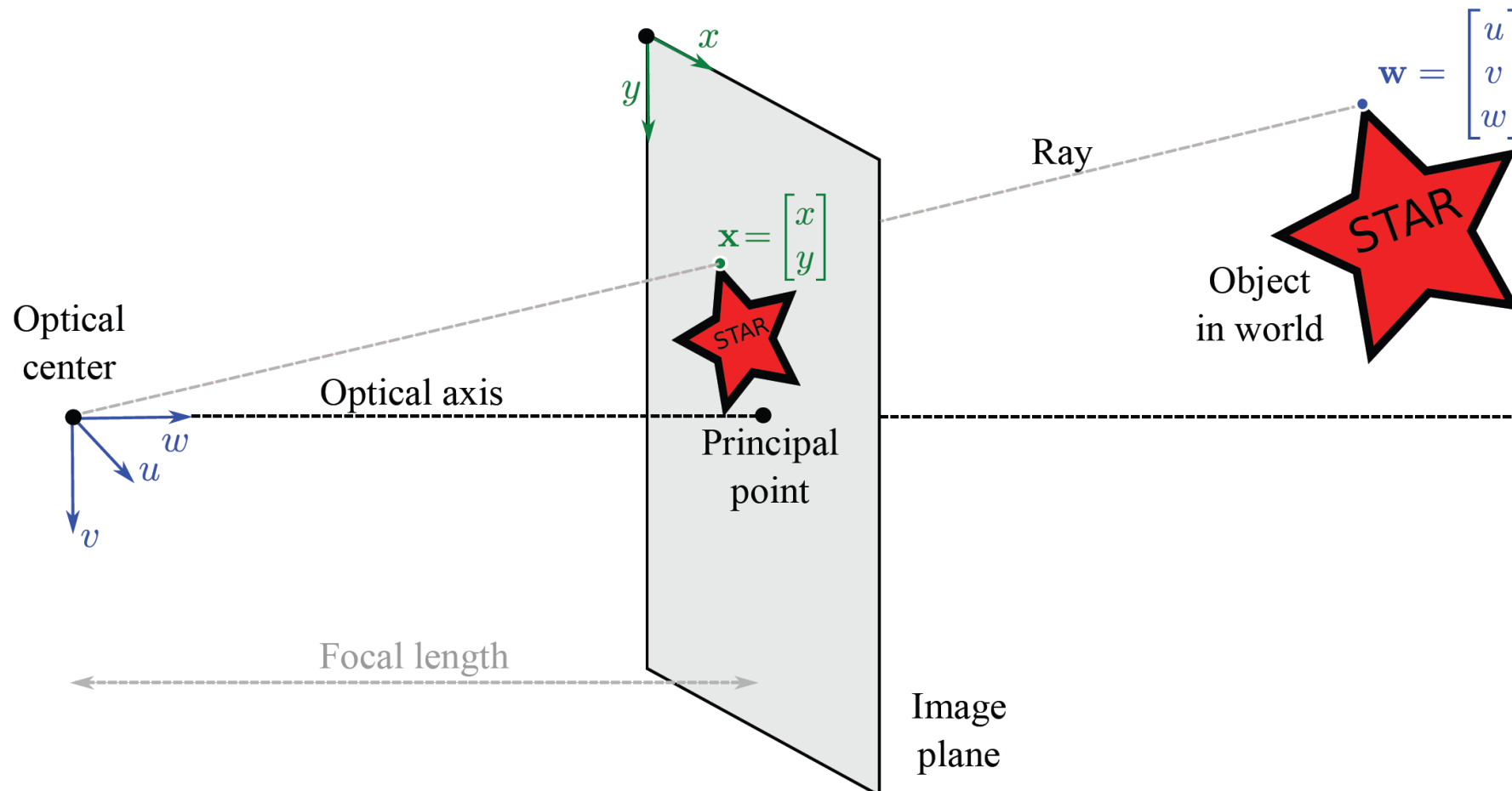
Hay incógnitas f , d_r , D_r

El objeto debe estar “centrado”

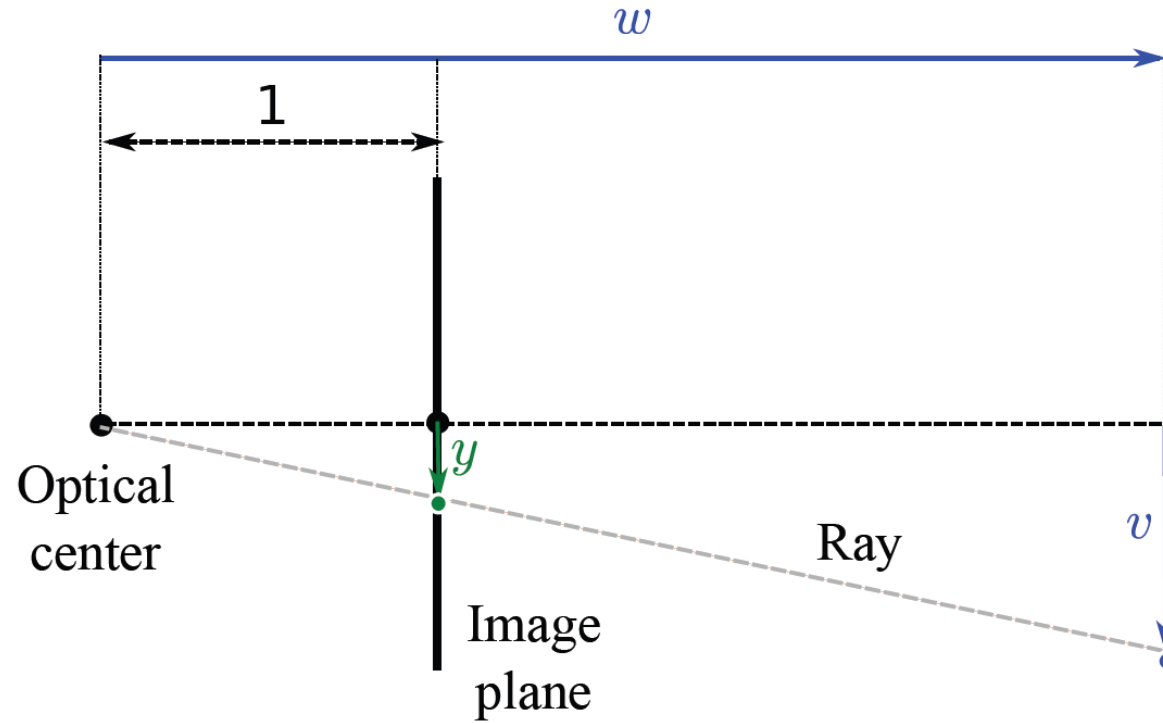
La cámara es ideal, no hay distorsión



Pinhole camera: Terminología / Notación



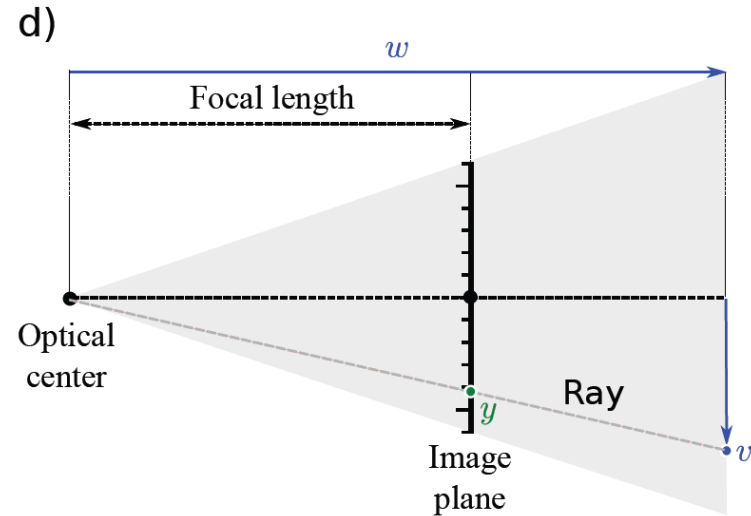
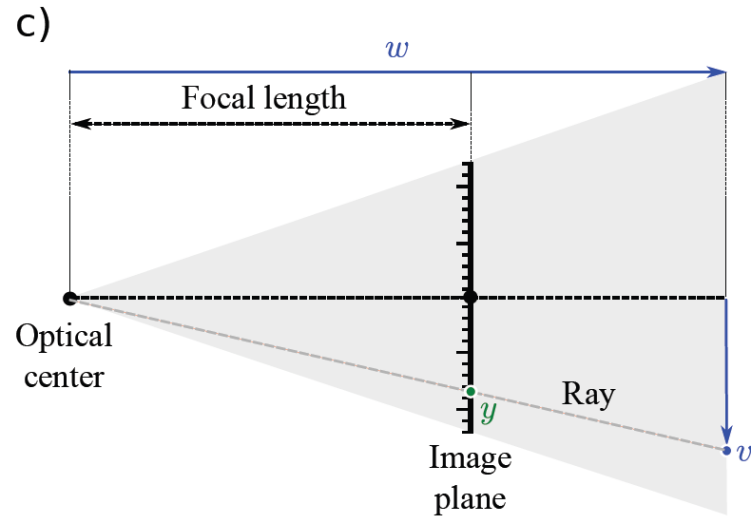
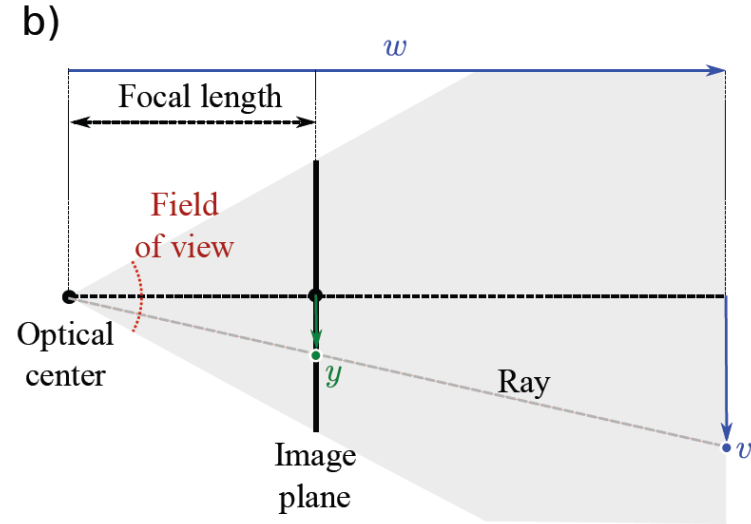
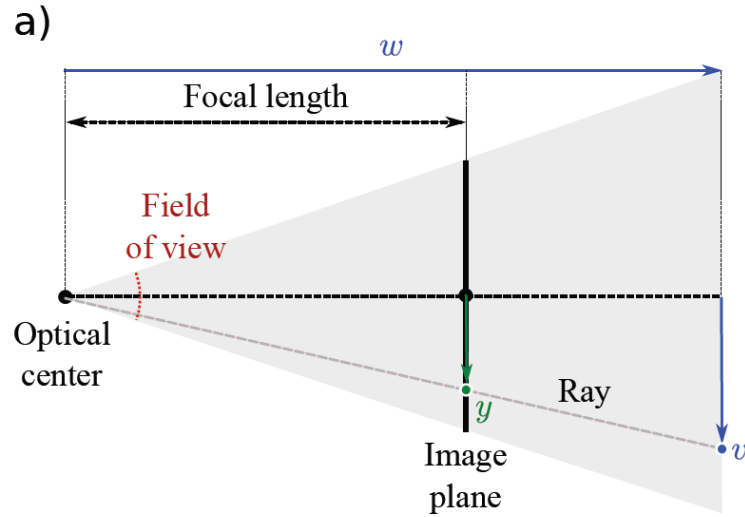
Camera Normalizada



By similar triangles:

$$x = \frac{u}{w} \quad y = \frac{v}{w}$$

Parámetros & Distancia Focal



Parámetros & Distancia Focal

Puede modelar ambos

- El efecto de la distancia al plano focal
- la densidad de los receptores

con un solo parámetro de distancia focal f

$$x = \frac{\phi u}{w} \quad y = \frac{\phi v}{w}$$

En la práctica, los receptores pueden no ser cuadrados:

$$x = \frac{\phi_x u}{w} \quad y = \frac{\phi_y v}{w}$$

Por lo tanto, se usan diferentes parámetros de distancia focal para dims x e y

Parámetros de Offset

- El modelo previo supone que el píxel (0,0) es donde el rayo principal incide en el plano de la imagen (es decir, el centro)
- Offset al centro de la imagen:

$$x = \frac{\phi_x u}{w} + \delta_x$$

$$y = \frac{\phi_y v}{w} + \delta_y$$

Parametro de Skew

- Da cuenta de que el plano de la imagen no es exactamente perpendicular al rayo principal

$$x = \frac{\phi_x u + \gamma v}{w} + \delta_x$$
$$y = \frac{\phi_y v}{w} + \delta_y$$

Posición y orientación de la cámara.

- La posición $\mathbf{w}=(u,v,w)^T$ del punto en el mundo generalmente no se expresa en el marco de referencia de la cámara.
- Transformación 3D

$$\circ \quad \begin{bmatrix} u' \\ v' \\ w' \end{bmatrix} = \begin{bmatrix} \omega_{11} & \omega_{12} & \omega_{13} \\ \omega_{21} & \omega_{22} & \omega_{23} \\ \omega_{31} & \omega_{32} & \omega_{33} \end{bmatrix} \begin{bmatrix} u \\ v \\ w \end{bmatrix} + \begin{bmatrix} \tau_x \\ \tau_y \\ \tau_z \end{bmatrix}$$

$$\mathbf{w}' = \mathbf{\Omega} \mathbf{w} + \boldsymbol{\tau}$$

Punto en el marco de
referencia de la cámara

Punto en el marco de
referencia del mundo

Pinhole camera: Modelo completo

$$x = \frac{\phi_x(\omega_{11}u + \omega_{12}v + \omega_{13}w + \tau_x) + \gamma(\omega_{21}u + \omega_{22}v + \omega_{23}w + \tau_y)}{\omega_{31}u + \omega_{32}v + \omega_{33}w + \tau_z} + \delta_x$$
$$y = \frac{\phi_y(\omega_{21}u + \omega_{22}v + \omega_{23}w + \tau_y)}{\omega_{31}u + \omega_{32}v + \omega_{33}w + \tau_z} + \delta_y.$$

- Parámetros Intrínsecos

$$\{\phi_x, \phi_y, \gamma, \delta_x, \delta_y\}$$

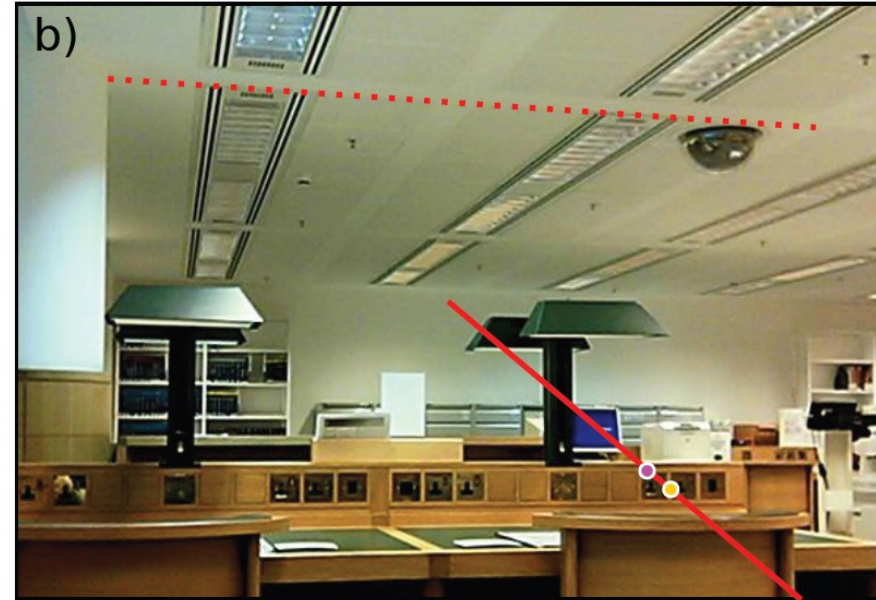
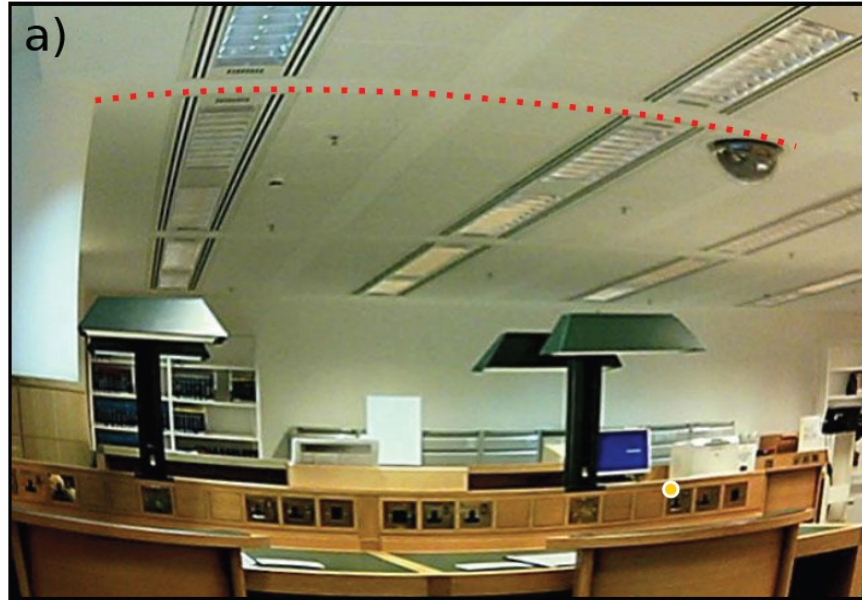
(como matriz intrínseca)

$$\mathbf{\Lambda} = \begin{bmatrix} \phi_x & \gamma & \delta_x \\ 0 & \phi_y & \delta_y \\ 0 & 0 & 1 \end{bmatrix}$$

- Parámetros Extrínsecos

$$\{\mathbf{\Omega}, \boldsymbol{\tau}\}$$

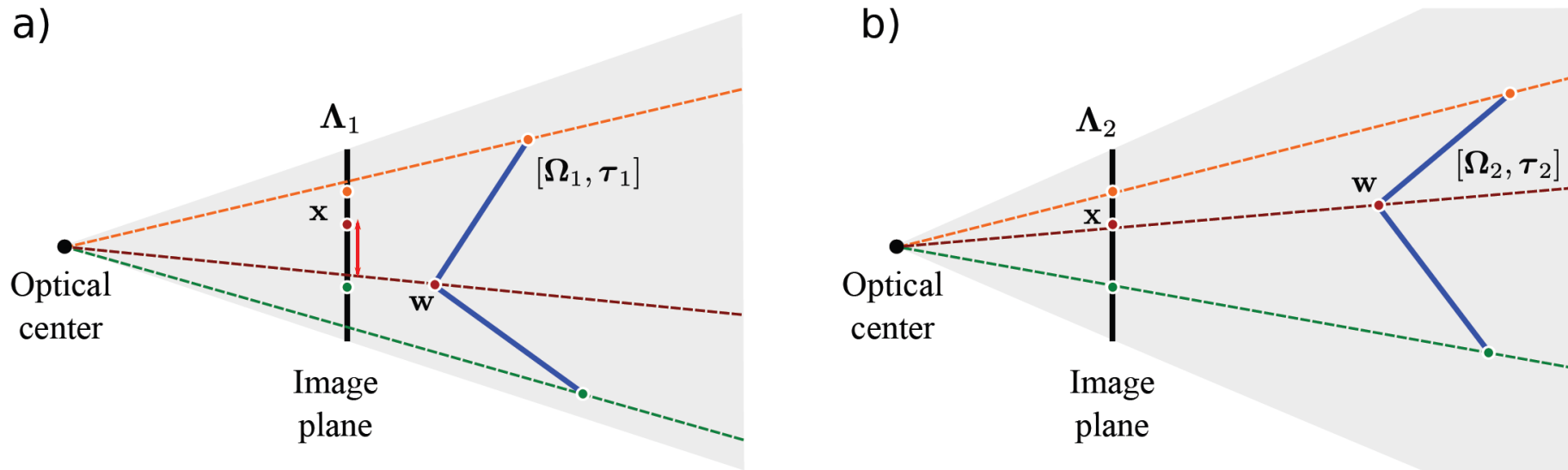
Distorsion Radial



$$x' = x(1 + \beta_1 r^2 + \beta_2 r^4)$$

$$y' = y(1 + \beta_1 r^2 + \beta_2 r^4)$$

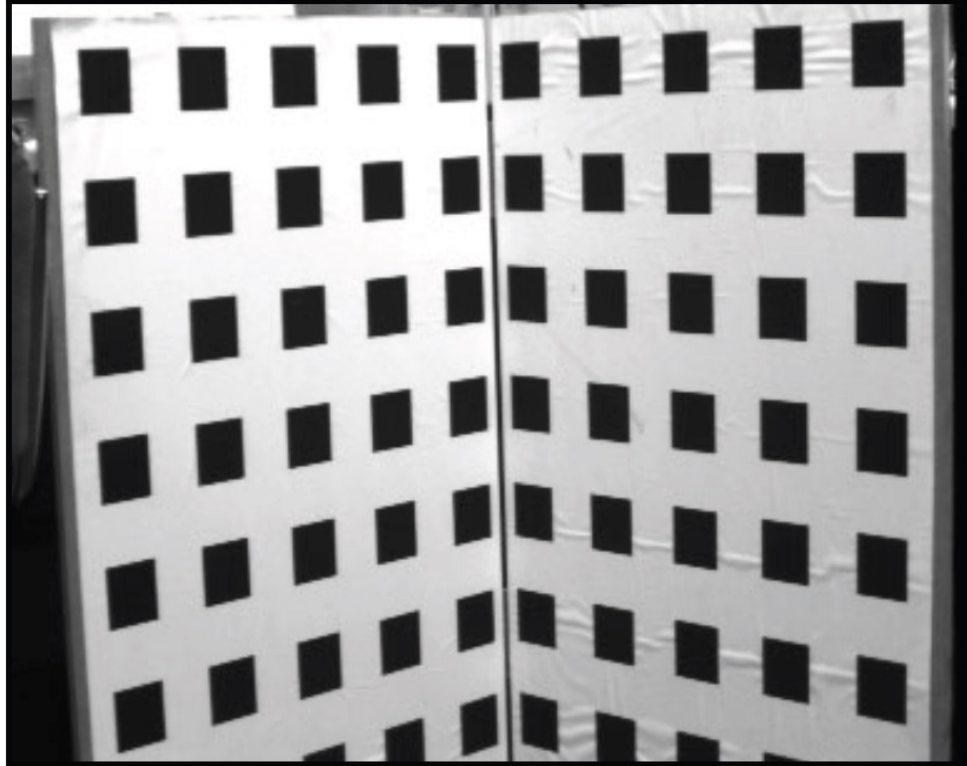
Problema 2: Aprendizaje de parámetros intrínsecos (calibración)



Usar máxima verosimilitud (maximum likelihood):

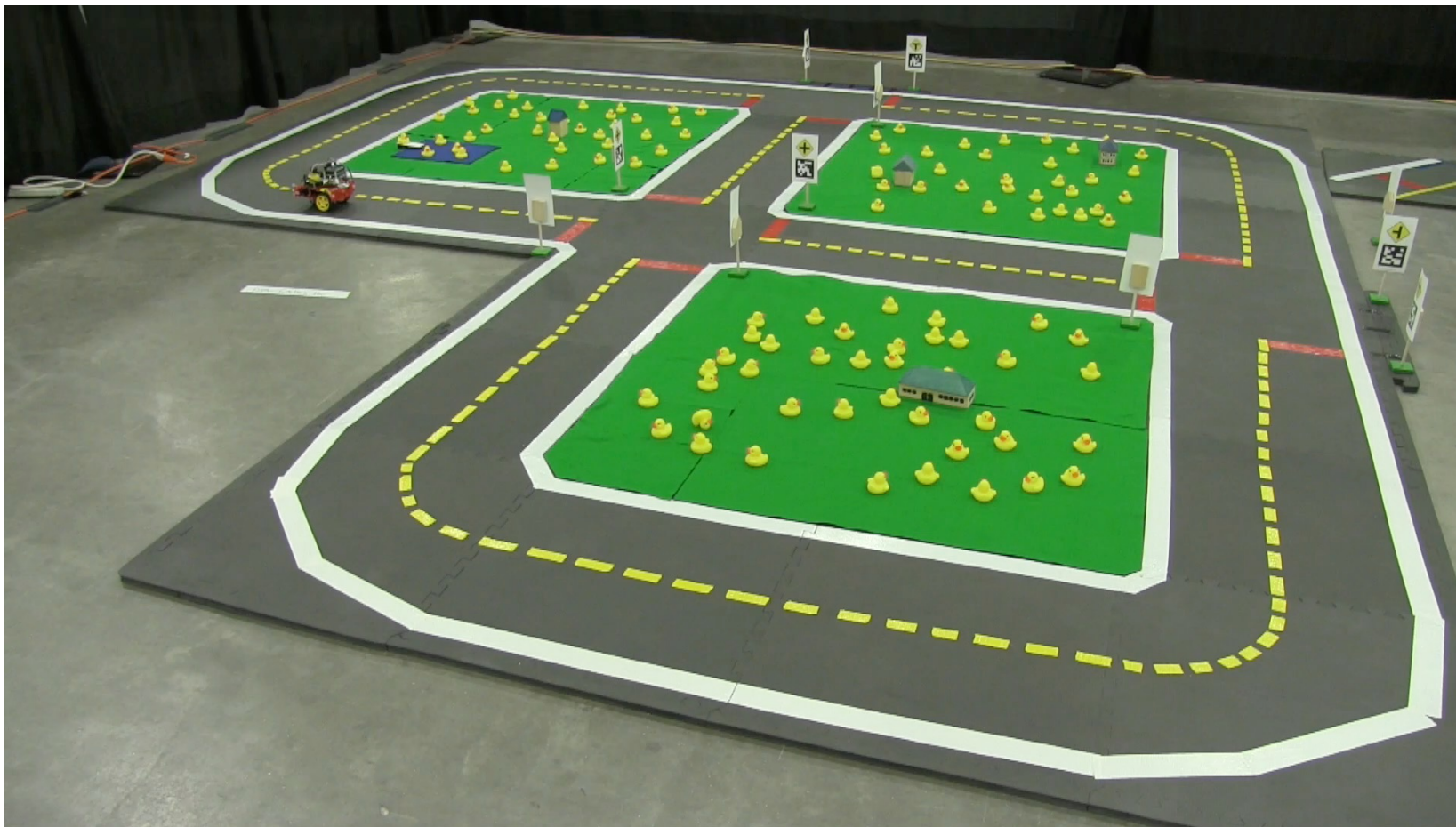
$$\hat{\Lambda} = \operatorname{argmax}_{\Lambda} \left[\max_{\Omega, \tau} \sum_{i=1}^I \log [Pr(\mathbf{x}_i | \mathbf{w}_i, \Lambda, \Omega, \tau)] \right]$$

Calibracion



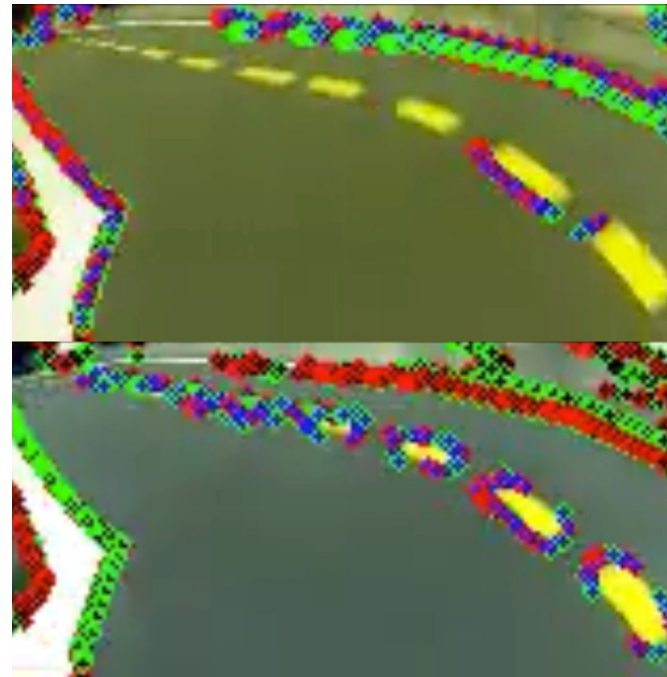
- Usar objetivo 3D con puntos 3D conocidos

Objetivo:



Computer Vision Basics

- Objectives:
 - Illumination invariance
 - Line detection
 - Feature representations
 - Place recognition



Computer Vision
~~Deep Learning~~ is Hard
Pose Variability



Computer Vision

~~Deep Learning~~ is Hard

Intra-Class Variability



Parkhi et al. "Cats and dogs." 2012.

Computer Vision
~~Deep Learning~~ is Hard
Illumination Variability



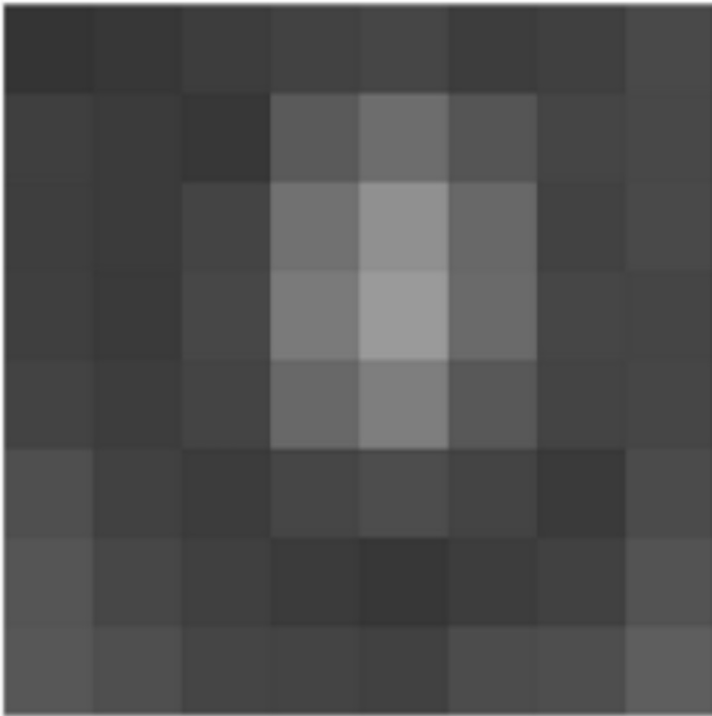
Computer Vision
~~Deep Learning~~ is Hard

Occlusion



Cuántas imágenes hay?

Imagen de 8x8 píxeles, escala de grises (256 valores):

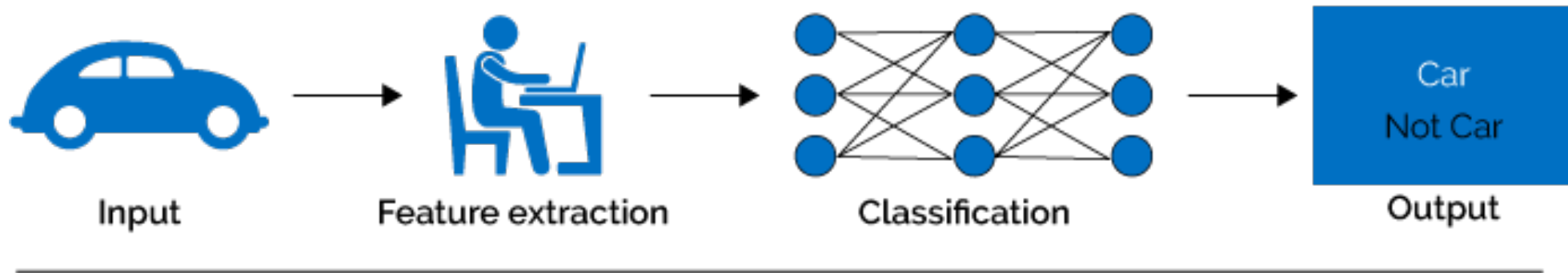


$$256 * 256 * \dots * 256 = 256^{8*8} \sim 10^{150}$$

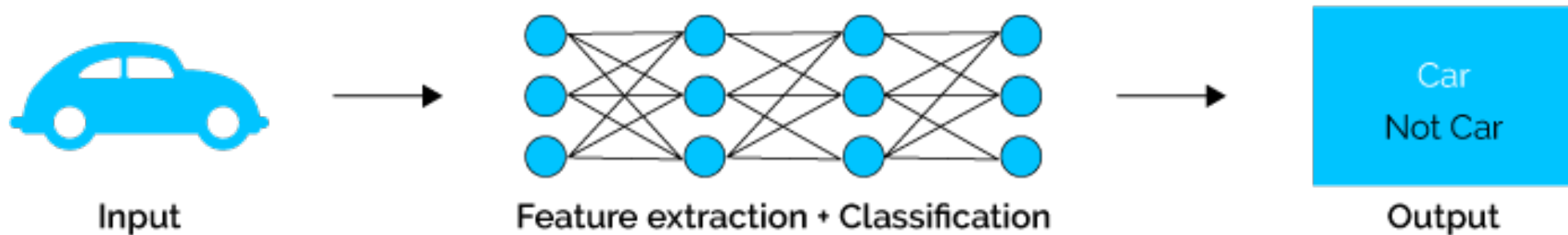
52	55	61	66	70	61	64	73
63	59	55	90	109	85	69	72
62	59	68	113	144	104	66	73
63	58	71	122	154	106	70	69
67	61	68	104	126	88	68	70
79	65	60	70	77	68	58	75
85	71	64	59	55	61	65	83
87	79	69	68	65	76	78	94

Approaches to Computer Vision & Machine Learning

Machine Learning



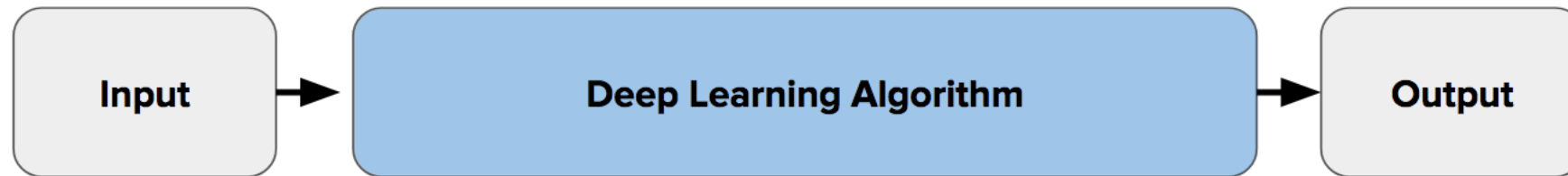
Deep Learning



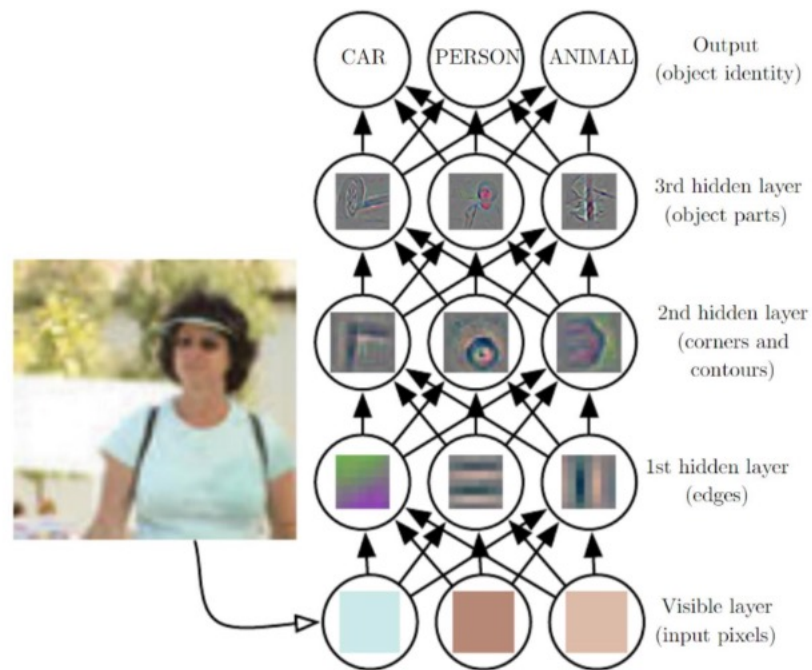
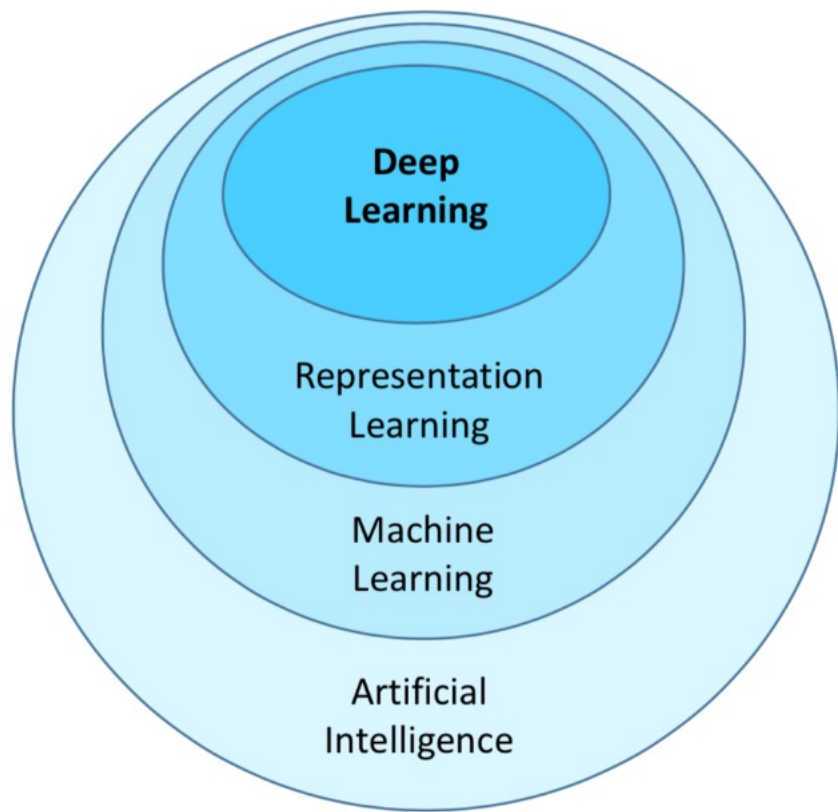
Approaches to Computer Vision & Machine Learning



Traditional Machine Learning Flow

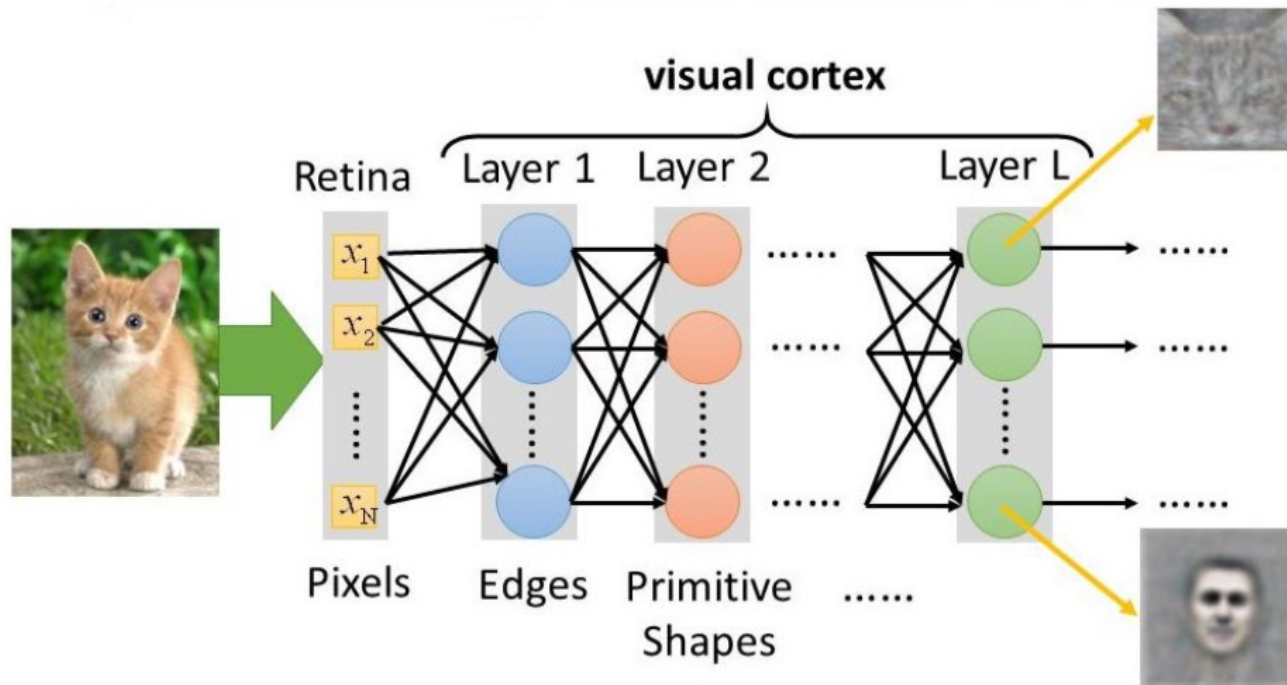
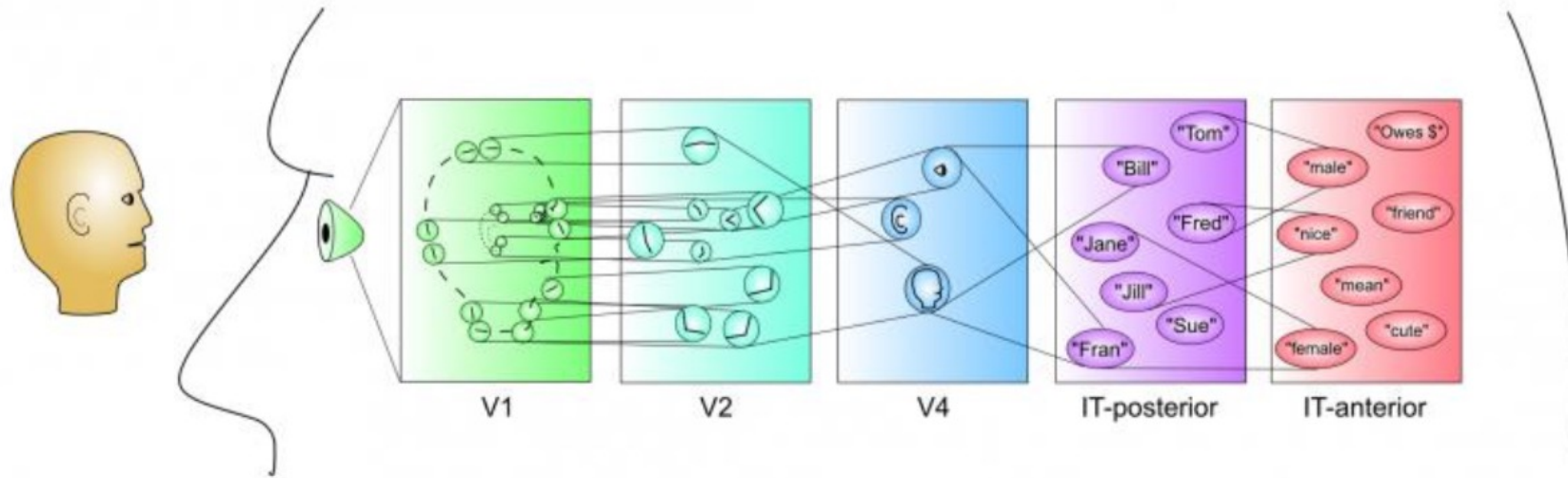


Deep Learning Flow



Visual Cortex

(Its Structure is Instructive and Inspiring)



Deep Learning for Computer Vision

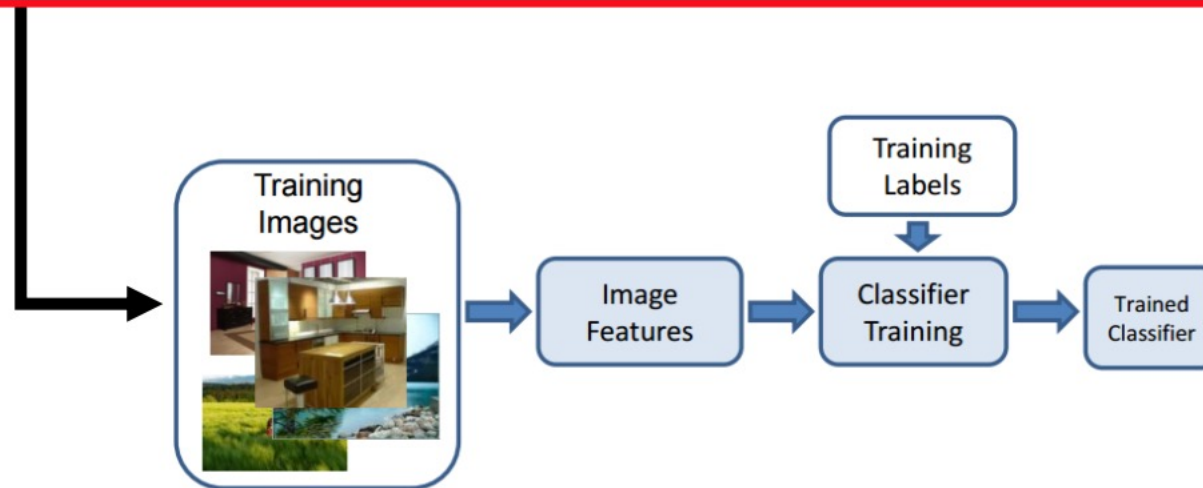
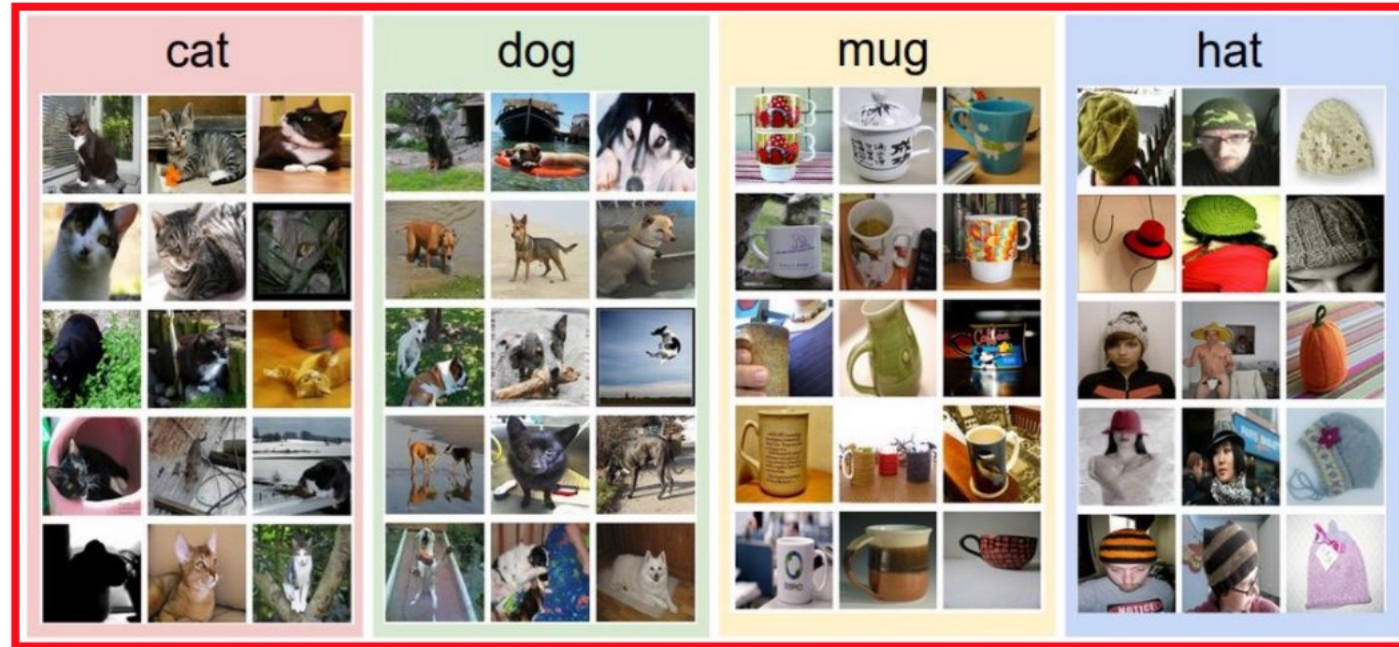
- **Task:**

- Object detection
- Object tracking
- Semantic segmentation
- Recognition
- ...

Scene Understanding



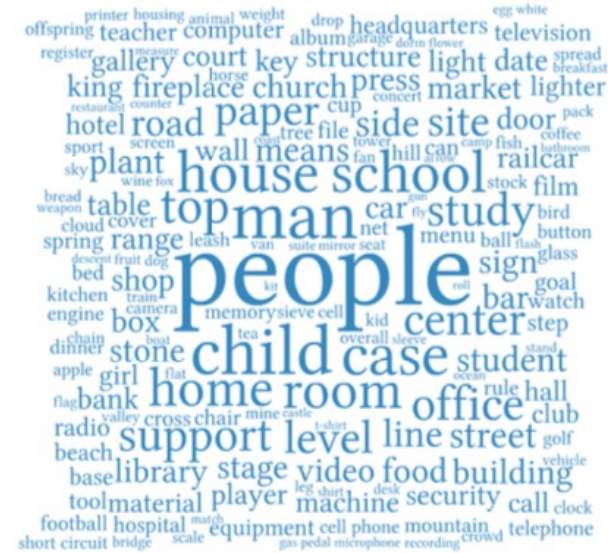
Image Classification Pipeline



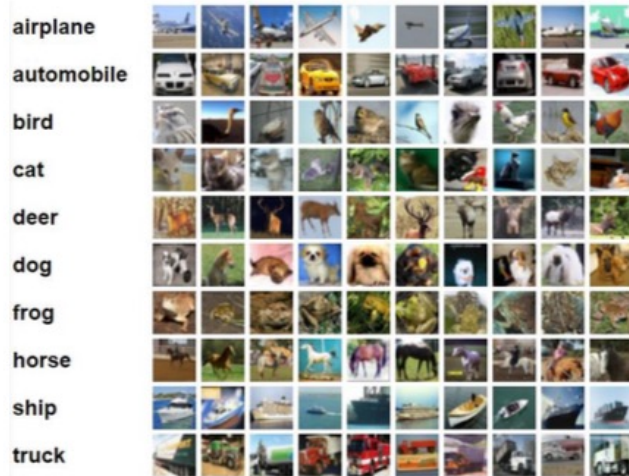
Famous Computer Vision Datasets



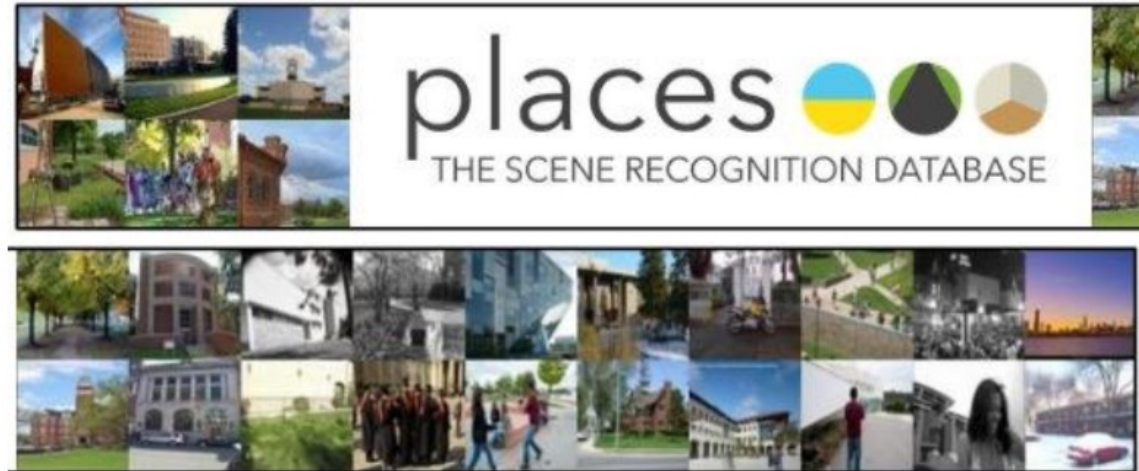
MNIST: handwritten digits



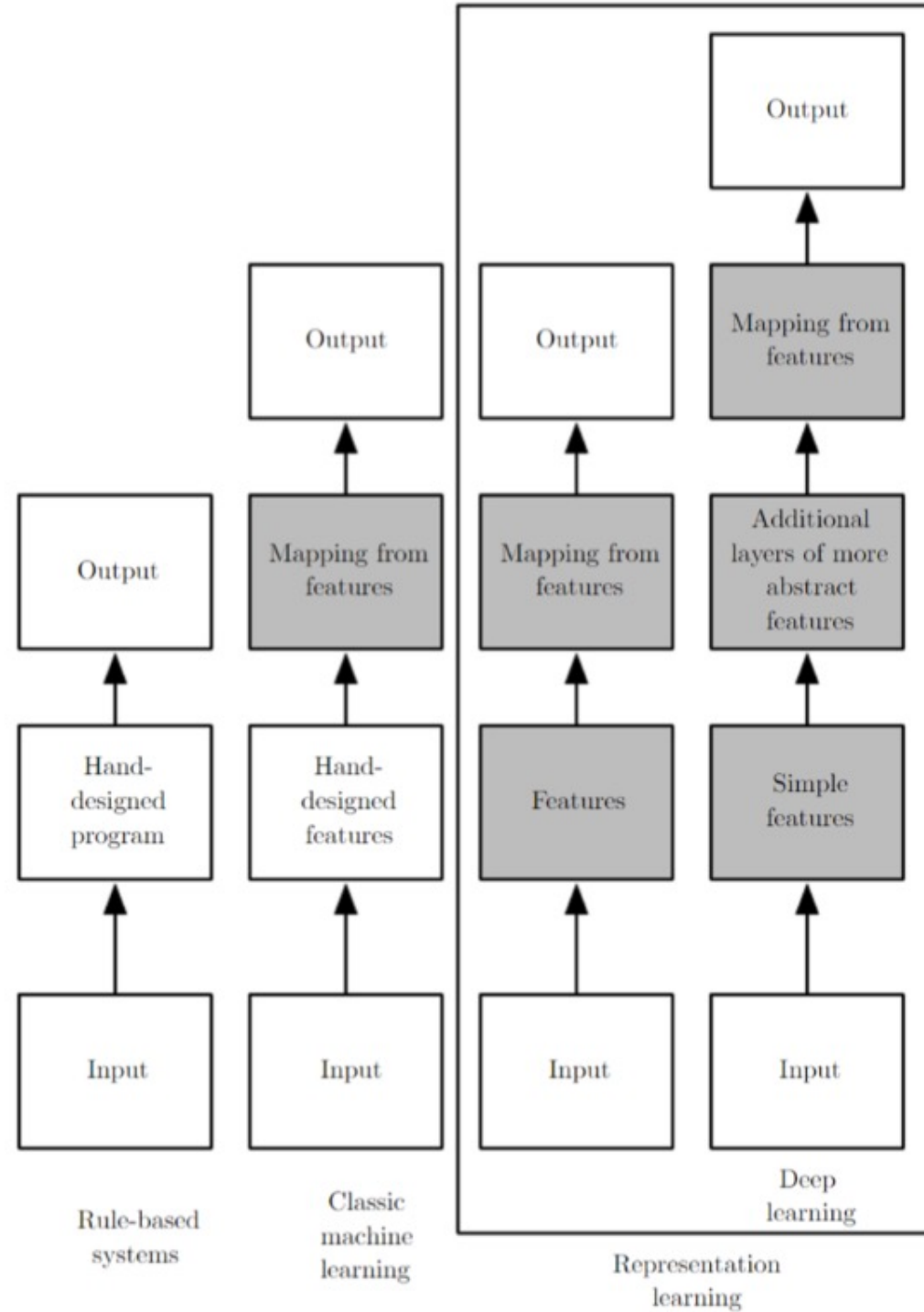
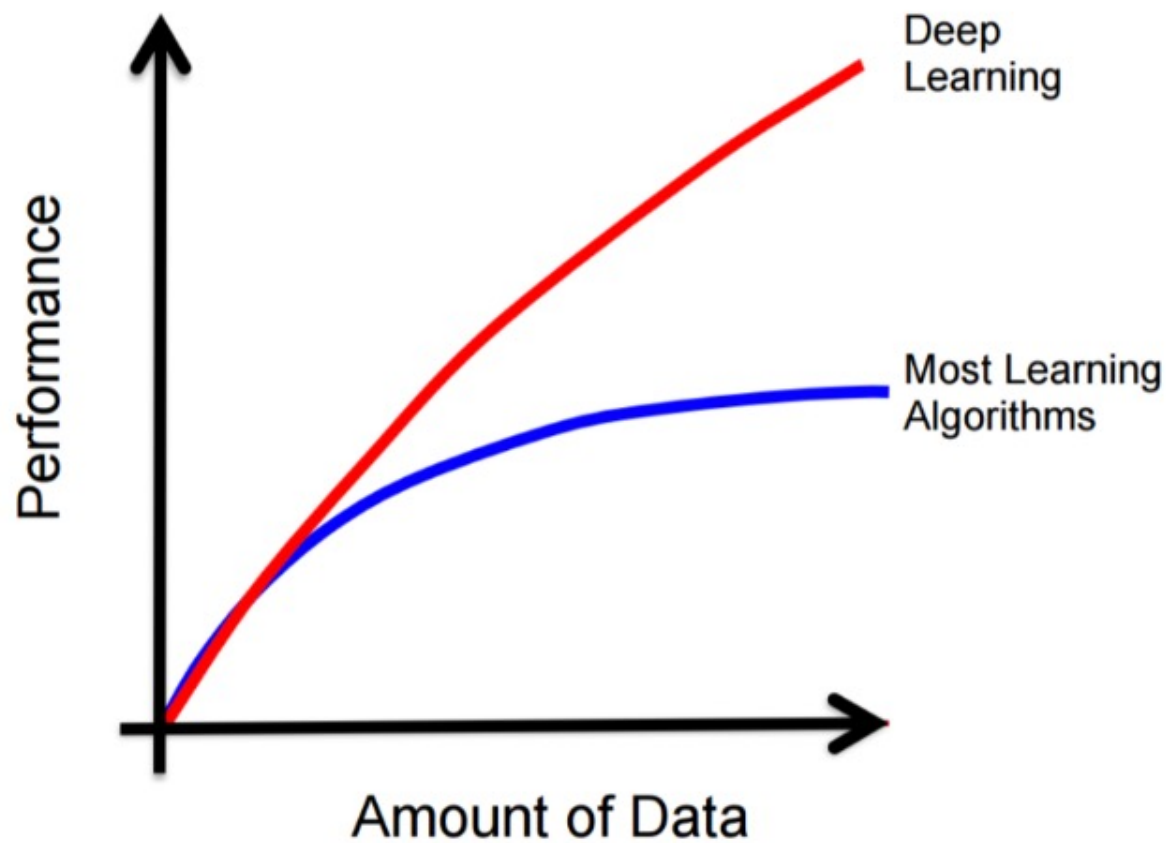
ImageNet: WordNet hierarchy



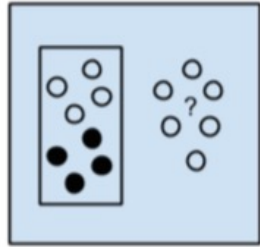
CIFAR-10(0): tiny images



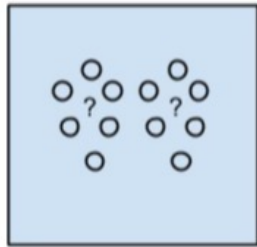
Places: natural scenes



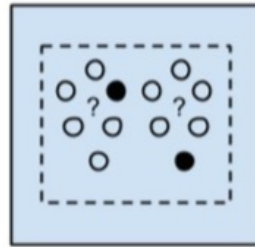
Computer Vision & Machine Learning



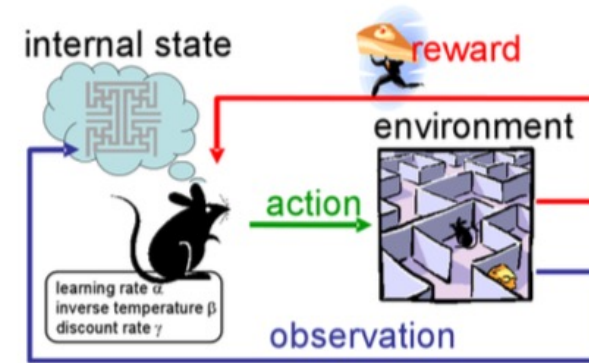
Supervised Learning



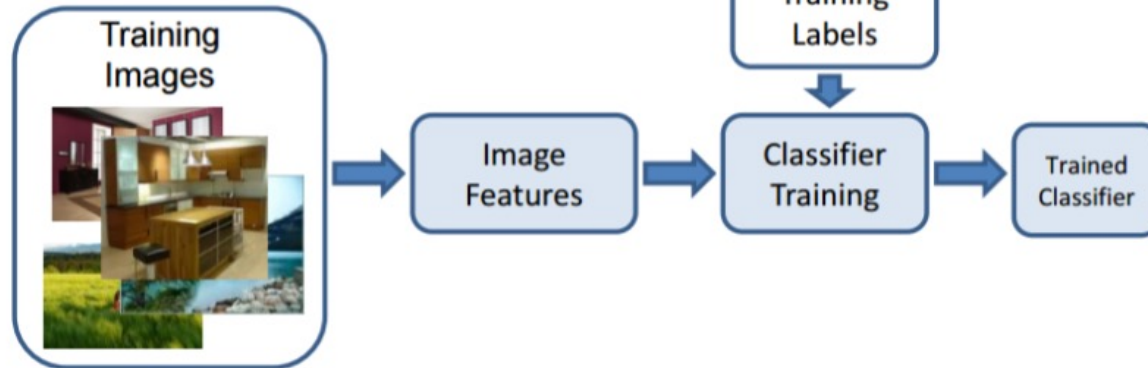
Unsupervised Learning



Semi-Supervised Learning



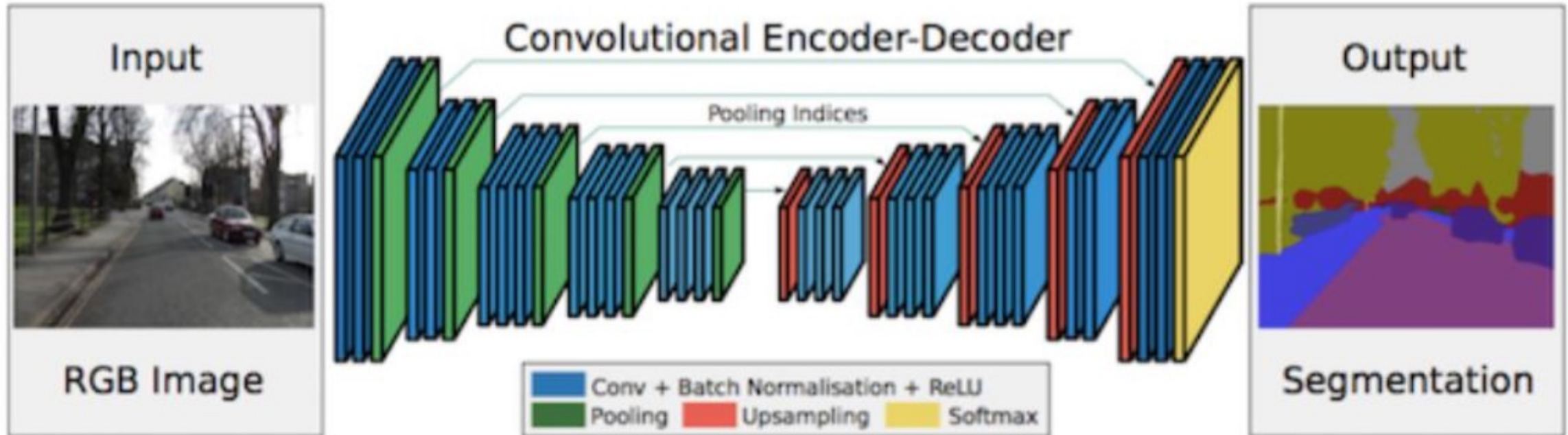
Reinforcement Learning



Deep learning for Segmentation



Deep learning for Segmentation

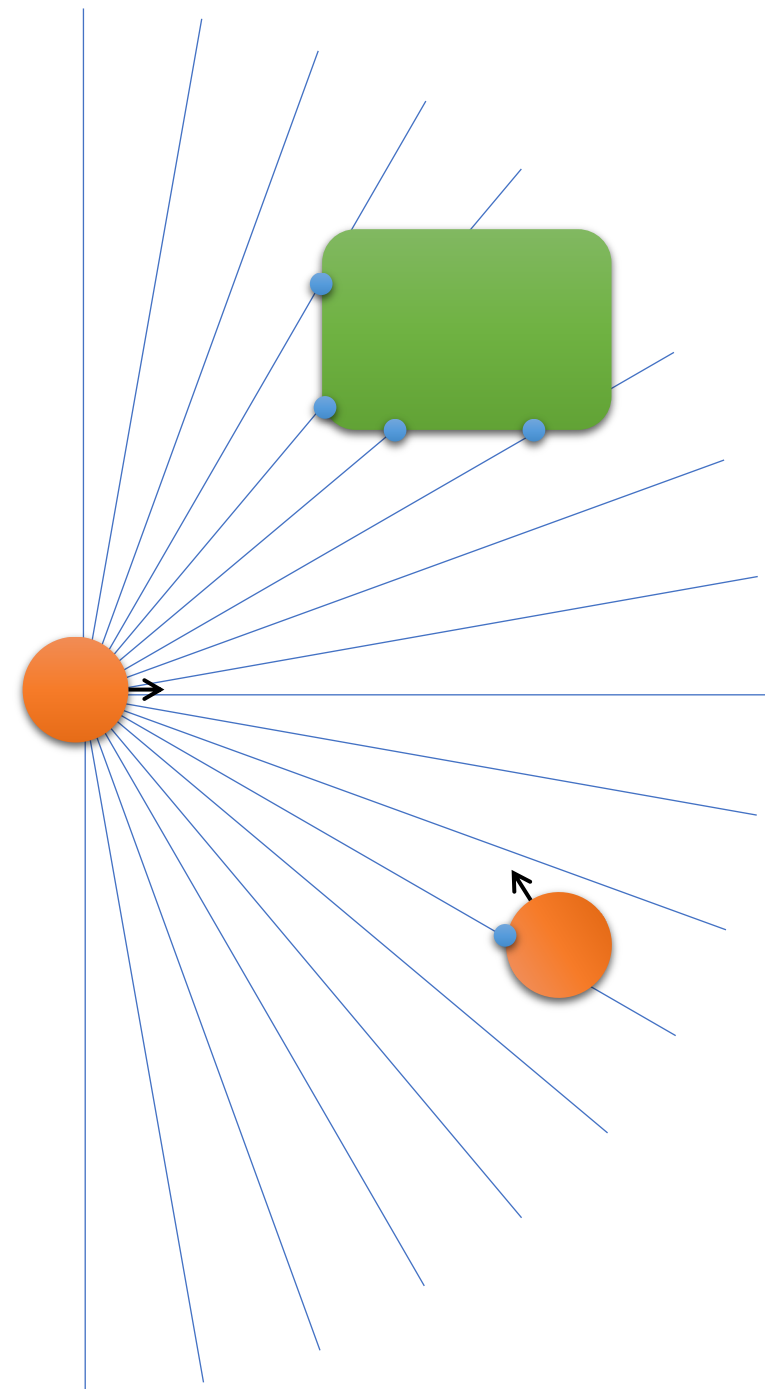
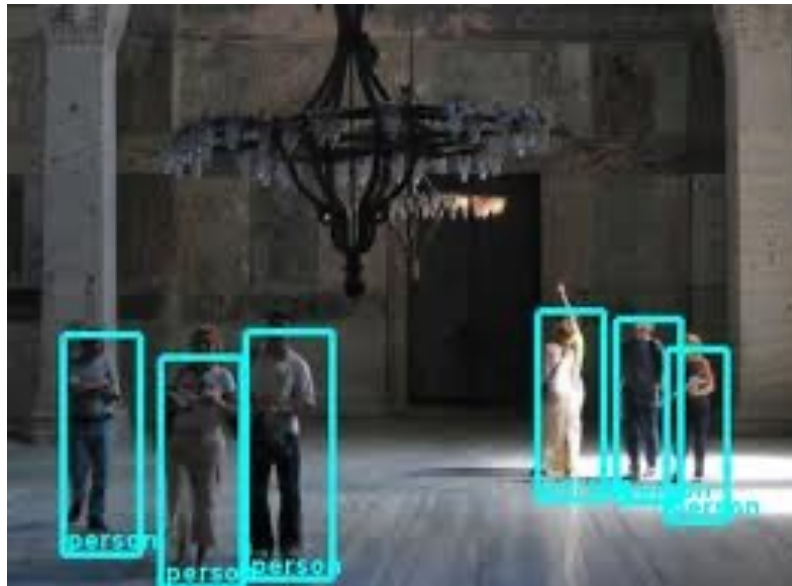


Example: Object Detection

How can we detect a given object (Yellow Duck)?

Detección

- Encontrar los objetos presentes en una medición
- Los objetos aparecen como una región de la medición



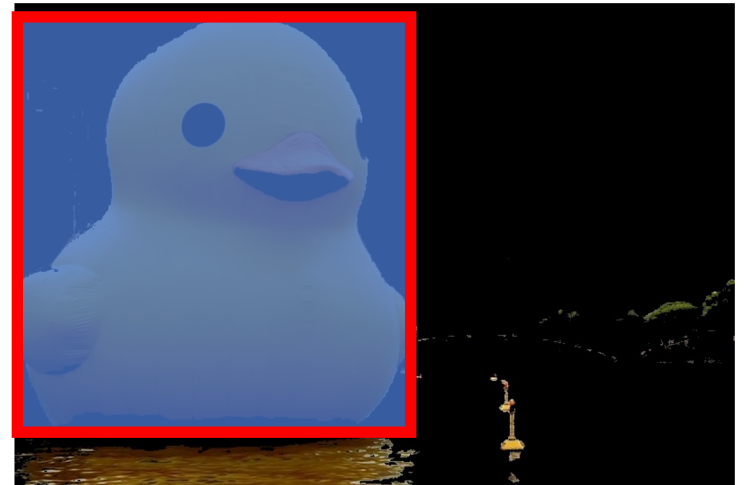
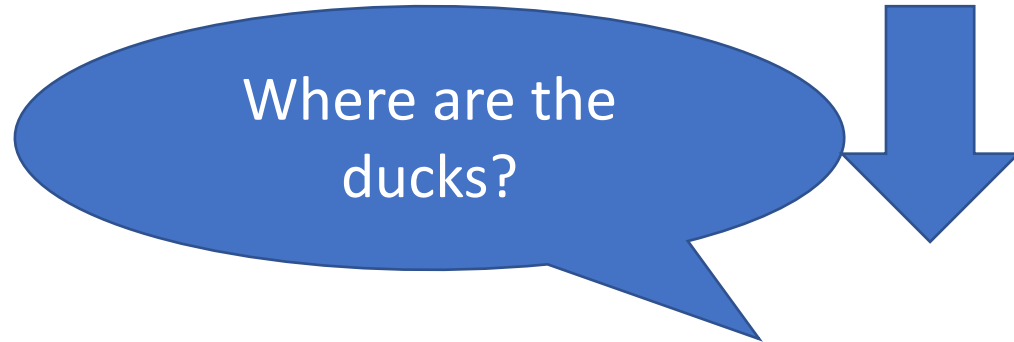
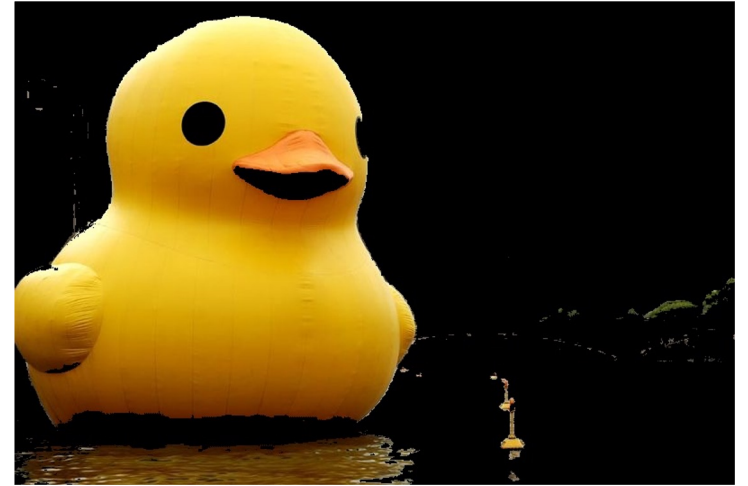
Approach 1: (Classic)

Extraer Features -> Luego Clasificar

- Feature: Vector que representa a un punto o una región de la medición
- Normalmente contiene cierta información de vecindad



Feature: yellow?
Every non yellow pixel is not a duck

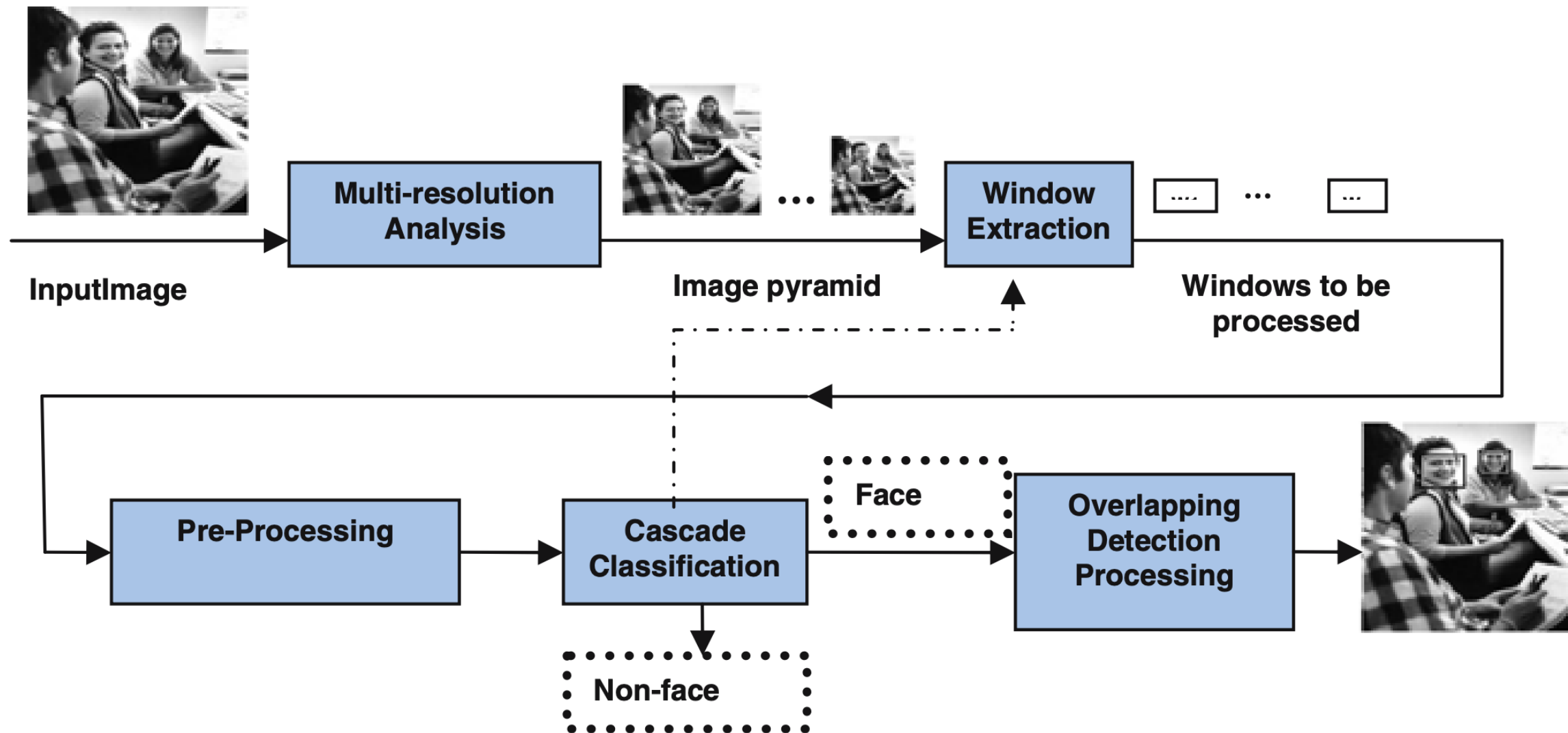


Approach 1: (Classic)

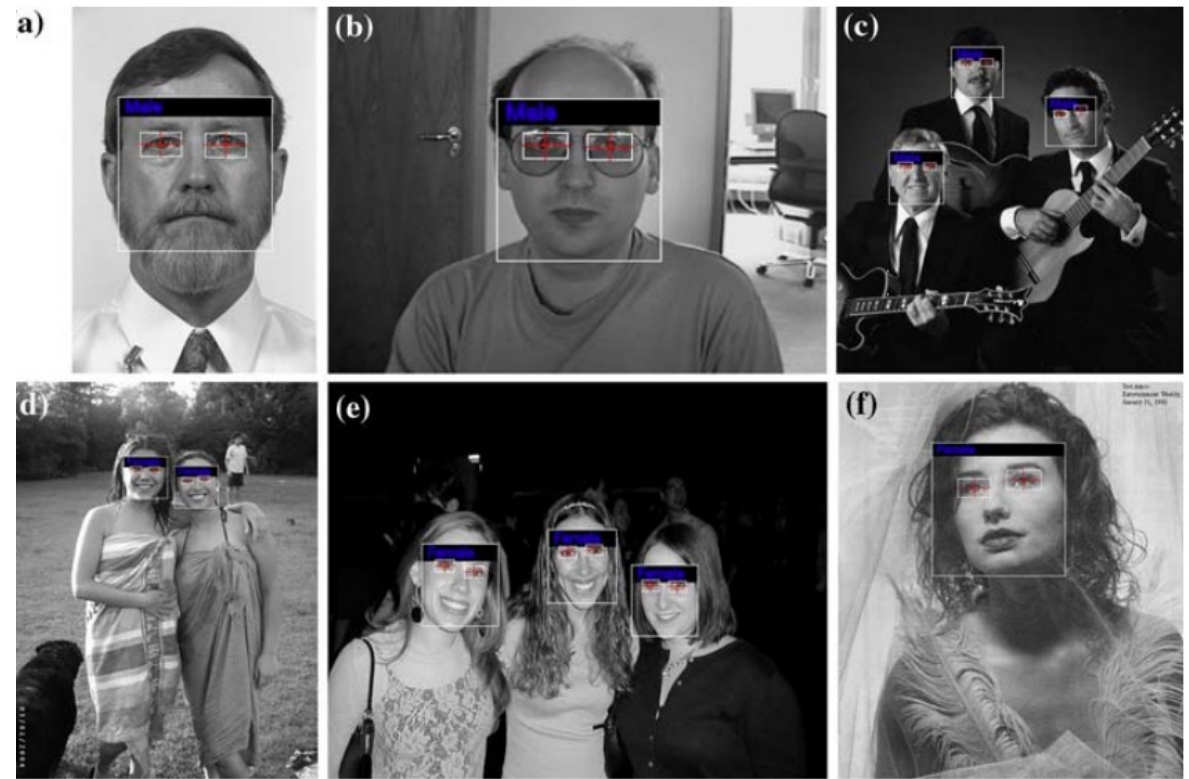
Extraer Features -> Luego Clasificar

- Feature: Vector que representa a un punto o una región de la medición
- Normalmente contiene cierta información de vecindad
- Ej:
 - Blobs (e.g. connected yellow pixels)
 - Descriptores (SIFT, SURF, DAISY, etc.)
 - Clases de color, Textura
 - Descriptores de ventanas
 - Geométricos

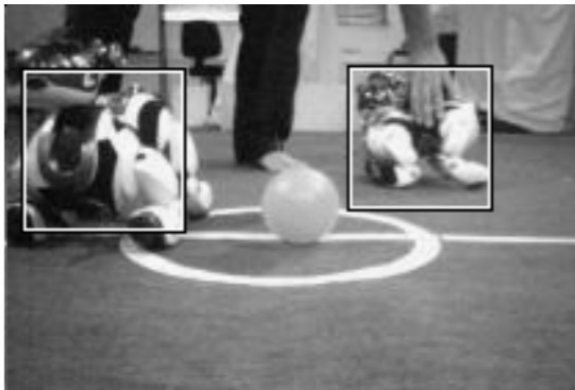
Approach 2: Sliding Windows + Classifier



Frontal Faces & Eye Detection, Gender Recognition

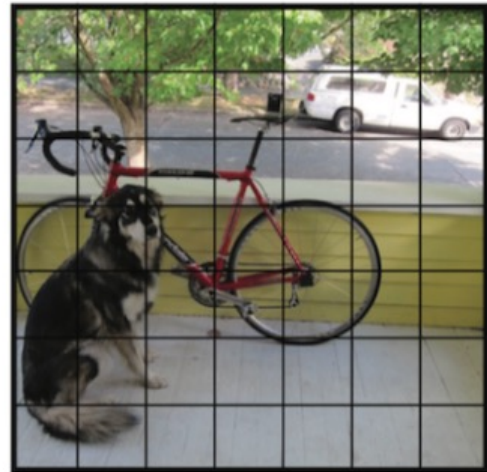


Detection of other object classes: cars, robots, hand, etc.



Approach 3: Yolo Object detector. Deep learning method that predict bounding boxes (sliding window is not needed)

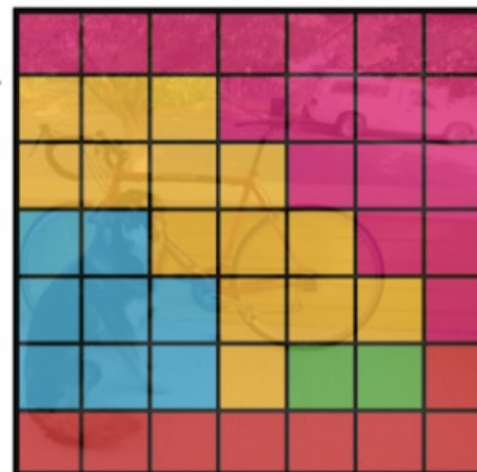
$S \times S \times B$ bounding boxes
confidence = $Pr(\text{object}) \times \text{IoU}(\text{pred}, \text{truth})$



$S \times S$ grid on input

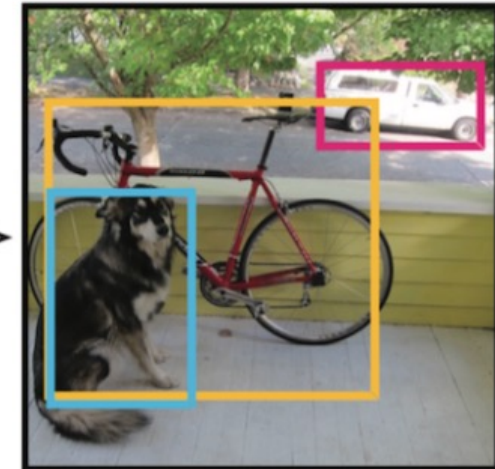


Bounding boxes + confidence



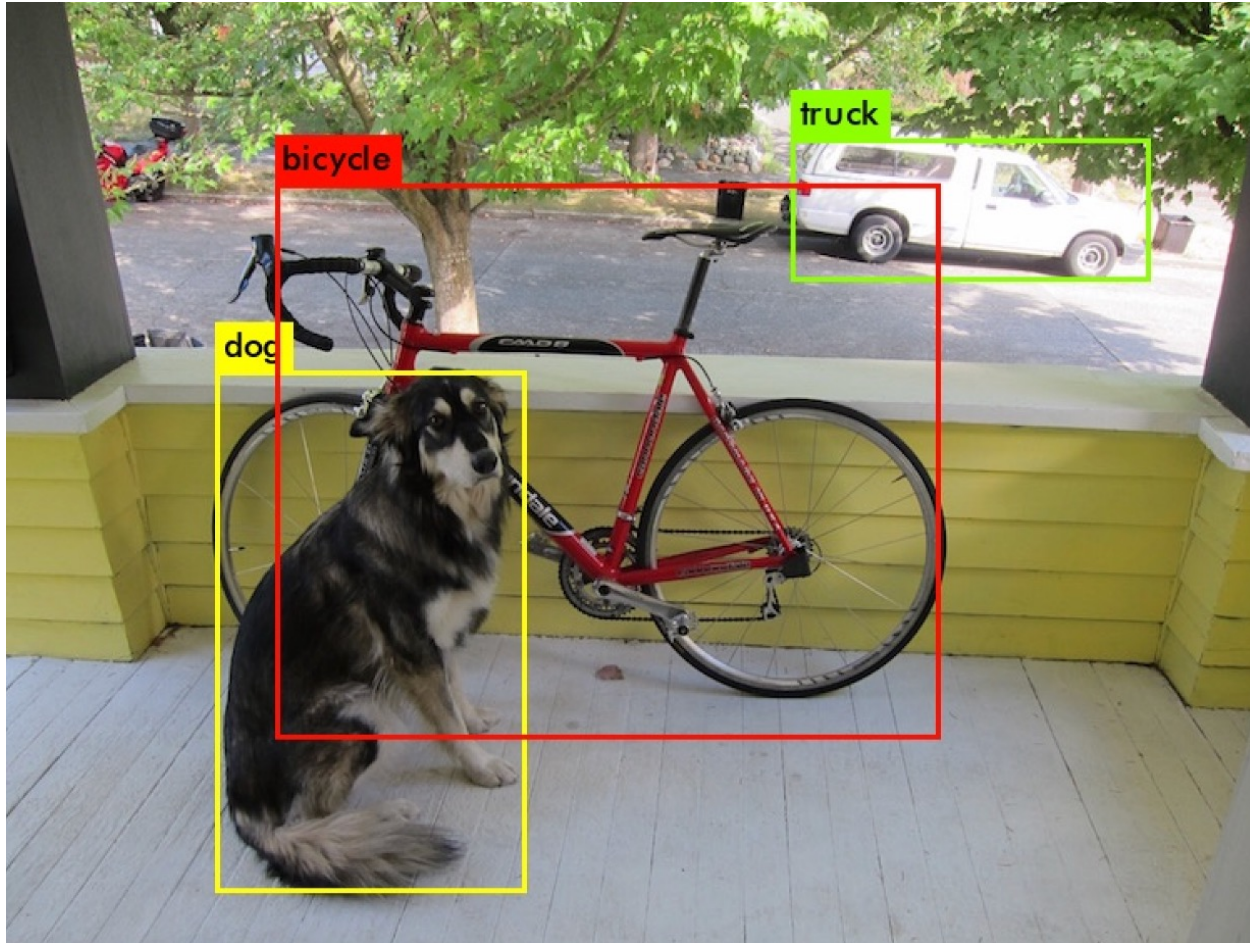
Class probability map

$Pr(\text{Class}_i | \text{object})$



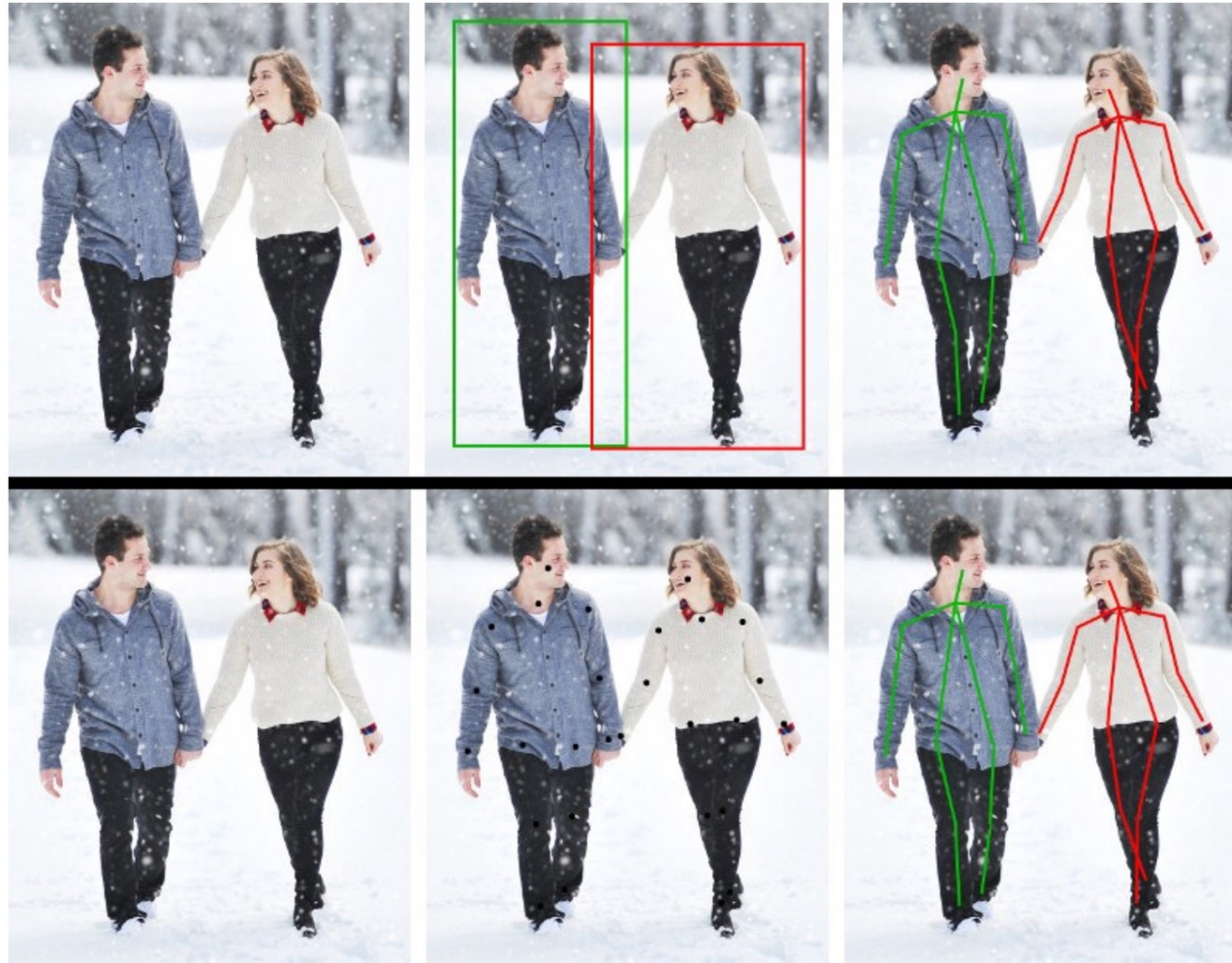
Final detections

[Yolo v3: https://youtu.be/MPU2HistivI](https://youtu.be/MPU2HistivI)



<https://pjreddie.com/darknet/yolo/>

Approach 4: DeepLearning + Association/Grouping Open Pose (person detection)

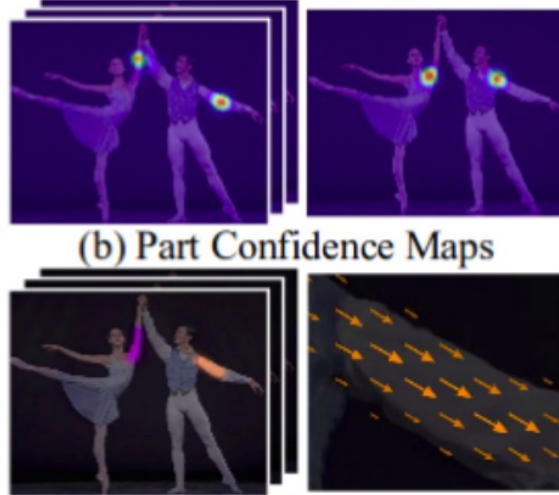


Top: Typical Top-Down approach. Bottom: Typical Bottom-Up approach. (Image Source)

Approach 4: Open Pose (person detection)



(a) Input Image



(b) Part Confidence Maps

(c) Part Affinity Fields



(d) Bipartite Matching



(e) Parsing Results

Steps involved in human pose estimation using OpenPose. ([Source](#))

Approach 4: Open Pose (person detection)

